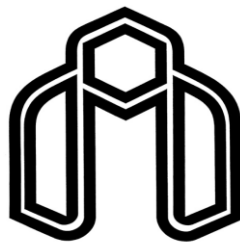


بِسْمِ اللّٰهِ الرَّحْمٰنِ الرَّحِيْمِ



دانشگاه صنعتی شهرود

دانشکده شیمی

گرایش شیمی معدنی

تهیه و شناسایی کمپلکس استیل استوناتو دی اکسی مولیبدن نشانده شده بر بستر نانو بوهمیت و بررسی  
ویژگی‌های کاتالیزوری آن

دانشجو:

رقیه غلامی

اساتید راهنما:

دکتر بهرام بهرامیان

دکتر مهدی میرزاچی



## دانشگاه صنعتی شهرورد

دانشکده: شیمی

گروه: معدنی

پایان نامه کارشناسی ارشد آقای / خانم. رقیه غلامی

تحت عنوان: تهیه و شناسایی کمپلکس‌های استینل استوناتو دی اکسو مولیبدن نشانده شده بر بستر نانویوه‌هیت و بررسی ویژگی‌های  
کاتالیزوری آن

در تاریخ ۹۲/۱۱/۲۱ توسط کمیته تخصصی زیر جهت اخذ مدرک کارشناسی ارشد معدنی مورد ارزیابی و با درجه  
..... مورد پذیرش قرار گرفت.

امضاء	اساتید مشاور	امضاء	اساتید راهنما
			بهرام بهرامیان
			مهدی میرزابی

امضاء	نماینده تحصیلات تکمیلی	امضاء	اساتید داور
	نام و نام خانوادگی: ناصر گوهرزی		امیر رضا آزادمهر
			محمد باخرد

تقدیم به

پدر و مادر عزیزم

و خواهرانم

## تشکر و قدردانی

شکر و سپاس خدای را که با الطاف ربائی اش توفیق داد تا این پایان نامه را به پایان رسانده و از خداوند منان توفیق و سعادت همه پویندگان و رهروان علم و دانش را خواهانم. اکنون که این دوره پرخاطره از دوران تحصیلم را به پایان رساندم بر خود واجب می‌دانم، حمایت و پشتیبانی دلسوزانه مادر، پدر و خواهرانم که همواره راه گشای مشکلاتم در تمام مراحل زندگی بودند ارج نهاده و مراتب تشکر قلبی را از محبت آنان ابراز دارم. از زحمات فراوان استاد بزرگوارم جناب آقایان دکتر بهرام بهرامیان، دکتر مهدی میرزایی که با راهنمایی‌ها و نظرات ارزنده و صبر و حوصله‌ی فراوان نقش مهمی در به ثمر رساندن این پژوهش داشته‌اند صمیمانه تقدیر و تشکر می‌نمایم. از همه دوستان و همکلاسی‌ها و همچنین از همکارانم آقای قلیزاده و آقای فیضی سپاسگزارم.

## تعهد نامه

اینجانب رقیه غلامی دانشجوی دوره کارشناسی ارشد شیمی معدنی دانشکده شیمی دانشگاه صنعتی شهرود نویسنده پایان نامه تهیه و شناسایی کمپلکس استیل استوناتو دی اکسی مولبیدن نشانده شده بر بستر نانو بوهمیت و بررسی ویژگی های کاتالیزوری آن تحت راهنمائی آقای دکتر بهرام بهرامیان و دکتر مهدی میرزایی متعدد می شود.

- تحقیقات در این پایان نامه توسط اینجانب انجام شده است و از صحت و اصالت برخوردار است .
- در استفاده از نتایج پژوهش‌های محققان دیگر به مرجع مورد استفاده استناد شده است .
- مطالب مندرج در پایان نامه تاکنون توسط خود یا فرد دیگری برای دریافت هیچ نوع مدرک یا امتیازی در هیچ جا ارائه نشده است .
- کلیه حقوق معنوی این اثر متعلق به دانشگاه صنعتی شهرود می باشد و مقالات مستخرج با نام « دانشگاه صنعتی شهرود » و یا « Shahrood University of Technology » به چاپ خواهد رسید .
- حقوق معنوی تمام افرادی که در به دست آمدن نتایج اصلی پایان نامه تأثیرگذار بوده اند در مقالات مستخرج از پایان نامه رعایت می گردد .
- در کلیه مراحل انجام این پایان نامه ، در مواردی که از موجود زنده ( یا بافت‌های آنها ) استفاده شده است ضوابط و اصول اخلاقی رعایت شده است .
- در کلیه مراحل انجام این پایان نامه، در مواردی که به حوزه اطلاعات شخصی افراد دسترسی یافته یا استفاده شده است اصل رازداری ، ضوابط و اصول اخلاق انسانی رعایت شده است .

### تاریخ

### امضای دانشجو

## مالکیت نتایج و حق نشر

- کلیه حقوق معنوی این اثر و محصولات آن (مقالات مستخرج ، کتاب ، برنامه های رایانه ای ، نرم افزار ها و تجهیزات ساخته شده است ) متعلق به دانشگاه صنعتی شهرود می باشد . این مطلب باید به نحو مقتضی در تولیدات علمی مربوطه ذکر شود .
- استفاده از اطلاعات و نتایج موجود در پایان نامه بدون ذکر مرجع مجاز نمی باشد .

## چکیده:

افزایش نگرانی‌های زیست محیطی و پیشرفت فرایند شیمی سبز، جایگزینی کاتالیزگرهای همگن را با انواع ناهمنگ آن ضروری کرده است. در این پژوهش نانو بوهمیت با استفاده از روش هیدروترمال سل-ژل تهیه شد که به سبب مساحت سطح بالا(۳۲۶) و دارا بودن گروههای هیدروکسیل سطحی فراوان به عنوان یک بستر مناسب به کار گرفته شد. سپس با لیگاند ۳-تری متوكسی سایلیل پروپیل آمین عامل دار شد. در ادامه کمپلکسی از مولیبدن به نانو بوهمیت عامل دار شده اضافه گردید تا کاتالیزگر Mo-AFNB ناهمنگ تهیه شود. سپس این کاتالیزگرهای اپوکسایش سیکلواکتن به کار گرفته شده و بازده واکنش‌ها با دستگاه کروماتوگرافی گازی بررسی شد. این واکنش‌های کاتالیزوری با پارامترهای گوناگونی همچون مقدار کاتالیزگر، نوع حلال، مقدار حلال، نوع اکسنده، مقدار اکسنده، دما و زمان بهینه سازی شد. شرایط بهینه برای اپوکسیداسیون ۵/۰ میلی‌مول سیکلواکتن با این کاتالیزگر ناهمنگ، ۲۵ میلی‌گرم کاتالیزگر، ۵/۰ میلی‌لیتر حلال تتراکلریدکربن و ۱/۴ میلی‌مول اکسنده ترشیوبوتیل هیدروپراکسید در دمای  $80^{\circ}\text{C}$  به دست آمد. بالاترین بازده برای کاتالیزگر مولیبدن در زمان ۲۱۰ دقیقه به دست آمد. این کاتالیزگر ۳ بار بدون افت بازده بازیافت شد و دوباره به کار گرفته شد.

**کلمات کلیدی:** نانو بوهمیت، سل-ژل، اپوکسایش آلن، ترشیو بوتیل هیدروژن پراکسید، مولیبدن.

## مقاله مستخرج از پایان نامه

۱) پانزدهمین سمینار شیمی معدنی ایران - دانشگاه سبزوار، شهریور ۱۳۹۲

**Molybdenum di acetylacetonate anchored onto amine-functionalised Nano-boehmite and catalytic activity in the epoxidation of Alkenes**

## فهرست مطالب

### صفحه

#### فصل اول: مقدمه و تئوری

۱-۱- کاتالیزگرها	۱
۱-۲- نگهدارنده‌های کاتالیزگرها ناهمگن و ویژگی‌های آنها	۴
۱-۲-۱- نگهدارنده‌های آلی	۴
۱-۲-۲- نگهدارنده‌های معدنی	۵
۱-۲-۲-۱- بوهمیت	۵
۱-۳- فرایند سل-ژل	۶
۱-۴- مولیبدن	۸
۱-۵- روش نشاندن کمپلکس‌های فلزی بر گونه‌های معدنی	۹
۱-۶- اپوکسایش الفین‌ها	۱۰
۱-۶-۱- اپوکسایش الکن‌ها با کاتالیزورهای حاوی مولیبدن	۱۰
۱-۷- پژوهش‌های انجام شده با کاتالیزگرها مولیبدن	۱۲

#### فصل دوم: بخش تجربی

۲- بررسی اپوکسایش الکن‌ها به‌وسیله‌ی سیستم کاتالیزوری ناهمگن مولیبدن ثبت شده بر روی نانوبوهمیت	۱۹
۲-۱- مواد و معرفه‌ای به کار گرفته شده	۱۹
۲-۲- دستگاه‌های به کار گرفته شده	۱۹
۲-۲-۱- دستگاه کروماتوگرافی گازی	۱۹
۲-۲-۲- دستگاه آنالیز عنصری	۲۰
۲-۲-۳- دستگاه پراش پرتو ایکس	۲۰

۲۰	..... دستگاه‌های طیف‌سنج فروسرخ تبدیل فوریه	-۴-۲-۲
۲۰	..... ICP-۵-۲-۲	
۲۰	..... تهیه واکنش‌گرها و کاتالیزگرهای مولبیدن نشانده شده بر روی نانوبوهیمت	-۳-۲
۲۰	..... تهیه آلکوکسید آلومینیم ۲- بوتوکسید	-۱-۳-۲
۲۱	..... تهیه بستر نانوبوهیمت	-۲-۳-۲
۲۱	..... تهیه نانوبوهیمت عامل‌دار شده با لیگاند آمین‌دار شده	-۳-۳-۲
۲۱	..... تهیه کاتالیزور ناهمگن $MoO_2(acac)_2$ نشانده شده بر روی نانوبوهیمت دارای آمین	-۴-۳-۲
۲۲	..... بررسی سیستم کاتالیزوری ناهمگن در واکنش اپوکسایش سیکلواکتن	-۴-۲
۲۲	..... بررسی اثر نوع حلال	-۱-۴-۲
۲۲	..... بررسی اثر نوع اکسنده	-۲-۴-۲
۲۳	..... بررسی اثر مقدار حلال	-۳-۴-۲
۲۳	..... بررسی اثر زمان	-۴-۴-۲
۲۳	..... بررسی اثر مقدار اکسنده	-۵-۴-۲
۲۴	..... بررسی اثر مقدار کاتالیزور	-۶-۴-۲
۲۴	..... بررسی اثر دما	-۷-۴-۲
۲۴	..... بررسی بازیابی کاتالیزگر ناهمگن در اپوکسایش سیکلواکتن	-۸-۴-۲
۲۵	..... بررسی اپوکسایش آلکن‌های دیگر با کاتالیزور ناهمگن	-۹-۴-۲

### فصل سوم: بحث و نتیجه‌گیری

۲۹	..... بررسی نتایج	-۳
۲۹	..... تهیه کاتالیزور ناهمگن	-۱-۳
۳۵	..... بررسی کارایی کاتالیزوری کاتالیزور ناهمگن MO-AFNB در اپوکسایش سیکلواکتن	-۲-۳

۳۶.....	۱-۲-۳- بررسی اثر نوع حلال
۳۸.....	۲-۲-۳- بررسی اثر نوع اکسنده
۳۹.....	۳-۲-۳- بررسی اثر مقدار حلال
۴۰.....	۴-۲-۳- بررسی اثر زمان
۴۲.....	۵-۲-۳- بررسی اثر مقدار اکسنده
۴۳.....	۶-۲-۳- بررسی اثر مقدار کاتالیزگر
۴۴.....	۷-۲-۳- بررسی اثر دما
۴۵.....	۸-۲-۳- بررسی بازیابی کاتالیزگر ناهمگن در اپوکسایش سیکلواکتن
۴۷.....	۹-۲-۳- جمع‌بندی شرایط بهینه در سیستم کاتالیزور ناهمگن
۴۷.....	۱۰-۲-۳- بررسی اپوکسایش آلکن‌های دیگر
۴۹.....	۱۱-۲-۳- مکانیسم احتمالی انتقال اکسیژن در سیستم‌های کاتالیزوری دارای مولیبدن
۵۰.....	۴-۳- نتیجه‌گیری
۵۲.....	۵-۳- آینده‌نگری
۵۳.....	پیوست
۵۴.....	منابع

## فهرست شکل‌ها

### فصل اول: مقدمه

شکل ۱-۱: ساختار بوهمیت.....	۶
شکل ۱-۲: تترا اتوکسید سیلیسیم (Si(OC <sub>2</sub> H <sub>5</sub> ) <sub>4</sub> ).....	۷
شکل ۱-۳: فرایند سل-ژل و مراحل آن.....	۸
شکل ۱-۴: اپوکسایش استایرن با پربنزوئیک اسید.....	۱۰
شکل ۱-۵: چرخه کاتالیزوری جابه‌جا شدن اکسیژن به اولفین‌ها با اکسنده ترشیو بوتیل هیدروژن پراکسید و کاتالیزگر مولیبden.....	۱۱
شکل ۱-۶: قرار گرفتن مولیبden (IV) روی MCM-41 عامل‌دار شده .....	۱۲
شکل ۱-۷: قرار گرفتن مولیبden (VI) روی MCM-41 .....	۱۳
شکل ۱-۸: قرار گرفتن مولیبden (IV) بر روی نانو لوله‌های کربن.....	۱۴
شکل ۱-۹: قرار گرفتن مولیبden (VI) روی خاک مونت موریلونیت K10.....	۱۴
شکل ۱-۱۰: قرار گرفتن مولیبden (IV) بر روی سیلیکای عامل‌دار شده.....	۱۵

### فصل سوم: بحث و نتیجه‌گیری

شکل ۳-۱: عامل‌دار کردن نانو بوهمیت با گروه آمین، تهیه AFNB.....	۳۰
شکل ۳-۲: تهیه لیگاند بر روی بستر نانو بوهمیت و نشاندن فلز بر روی آن و تهیه Mo-AFNB .....	۳۰
شکل ۳-۳: a طیف FT-IR بوهمیت.....	۳۲
شکل ۳-۳: b طیف FT-IR بوهمیت آمین دار شده (AFNB).....	۳۲
شکل ۳-۳: c طیف FT-IR کاتالیزگر ناهمن (Mo-AFNB).....	۳۲

شکل ۳-۴: الگوی XRD بوهمیت..... ۳۴

شکل ۳-۵: الگوی XRD کاتالیزگر ناهمگن Mo- AFNB ۳۵

شکل ۳-۶: اپوکسایش سیکلواکتن با اکسنده ترشیو بوتیل هیدروزن پراکسید با کاتالیزگر ناهمگن Mo-AFNB ۳۶

شکل ۳-۷: بررسی اثر نوع حلال در اپوکسایش ۵/۰ میلی مول سیکلواکتن در ۵/۰ میلی متر حلال با ۱/۱۲ میلی مول اکسنده TBHP در دمای جوش حلال به مدت ۳۰۰ دقیقه در حضور ۲۰ میلی گرم کاتالیزگر ناهمگن..... ۳۷

شکل ۳-۸: بررسی اثر نوع اکسنده در اپوکسایش ۵/۰ میلی مول سیکلواکتن در ۵/۰ میلی لیتر حلال با ۱/۱۲ میلی مول اکسنده در دمای ۸۰ °C به مدت ۳۰۰ دقیقه در حضور ۲۰ میلی گرم کاتالیزگر ناهمگن..... ۳۹

شکل ۳-۹: بررسی اثر مقدار حلال تتراکلریدکربن در اپوکسایش ۵/۰ میلی مول سیکلواکتن با ۱/۱۲ میلی مول اکسنده TBHP در دمای ۸۰ °C به مدت ۳۰۰ دقیقه در ۲۰ میلی گرم کاتالیزگر ناهمگن..... ۴۰

شکل ۳-۱۰: بررسی اثر زمان در اپوکسایش ۵/۰ میلی مول سیکلواکتن با ۱/۱۲ میلی مول اکسنده TBHP در ۵/۰ میلی لیتر حلال تترا کلرید کربن با ۲۰ میلی گرم کاتالیزگر ناهمگن..... ۴۱

شکل ۳-۱۱: بررسی اثر مقدار اکسنده در اپوکسایش ۵/۰ میلی مول سیکلواکتن در ۵/۰ میلی لیتر حلال تتراکلرید کربن با ۲۰ میلی گرم کاتالیزگر ناهمگن..... ۴۳

شکل ۳-۱۲: بررسی اثر مقدار کاتالیزگر ناهمگن در اپوکسایش ۵/۰ میلی مول سیکلواکتن در ۵/۰ میلی لیتر حلال تتراکلریدکربن با ۱/۴ میلی مول اکسنده TBHP به مدت ۲۱۰ دقیقه در دمای ۸۰ °C..... ۴۴

شکل ۳-۱۳: بررسی اثر دما در اپوکسایش ۵/۰ میلی مول سیکلواکتن با ۱/۱۲ میلی مول اکسنده TBHP در ۵/۰ میلی لیتر حلال تتراکلریدکربن با ۲۵ میلی گرم کاتالیزگر ناهمگن به مدت ۲۱۰ دقیقه..... ۴۵

شکل ۳-۱۴: بررسی بازیابی کاتالیزگر ناهمگن در اپوکسایش ۵/۰ میلی مول سیکلواکتن با ۱/۴ میلی مول اکسنده TBHP در ۵/۰ میلی لیتر حلال تتراکلریدکربن با ۲۵ میلی گرم کاتالیزگر ناهمگن به مدت ۲۱۰ دقیقه در دمای ۸۰ °C..... ۴۶..... ۸۰

شکل ۱۵-۳ : مکانیسم پیشنهادی برای اپوکسایش سیکلواکتن با کمپلکس مولبیدن.....

## فهرست جدول فصل سوم: بحث و نتیجه‌گیری

جدول ۳-۱: مقایسه داده‌های XRD نمونه‌های نانو بوهمیت تهیه شده Mo-AFNB با نمونه استاندارد بوهمیت.....۳۳

جدول ۳-۲: الگوی XRD نمونه استاندارد بوهمیت.....۳۴

جدول ۳-۳: بررسی اثر نوع حلال در اپوکسایش ۰/۵ میلی‌مول سیکلواکتن در ۰/۵ میلی‌لیتر حلال با ۱/۱۲ میلی‌مول  
اکسنده TBHP در دمای جوش حلال به مدت ۲۱۰ دقیقه و با به کار گیری ۲۰ میلی‌گرم کاتالیزگر ناهمگن Mo-AFNB

جدول ۳-۴: بررسی اثر نوع اکسنده در اپوکسایش ۰/۵ میلی‌مول سیکلواکتن در ۰/۵ میلی‌لیتر حلال با ۱/۱۲ میلی‌مول  
اکسنده در دمای جوش حلال به مدت ۲۱۰ دقیقه و با به کار گیری ۲۰ میلی‌گرم کاتالیزگر ناهمگن Mo-AFNB

جدول ۳-۵: بررسی اثر مقدار حلال تتراکلرید کربن در اپوکسایش ۰/۵ میلی‌مول سیکلو اکتن با ۱/۱۲ میلی‌مول  
اکسنده TBHP در دمای جوش حلال به مدت ۲۱۰ دقیقه و با به کار گیری ۲۰ میلی‌گرم کاتالیزگر ناهمگن Mo-  
۴۰ AFNB

جدول ۳-۶: بررسی اثر زمان در اپوکسایش ۰/۵ میلی‌مول سیکلواکتن با ۱/۱۲ میلی‌مول اکسنده TBHP در ۰/۵  
میلی‌لیتر حلال تتراکلرید کربن و با به کار گیری ۲۰ میلی‌گرم کاتالیزگر ناهمگن Mo-AFNB

جدول ۳-۷: بررسی مقدار اکسنده در اپوکسایش ۰/۵ میلی‌مول سیکلواکتن در ۰/۵ میلی‌لیتر حلال تتراکلرید کربن با  
اکسنده TBHP و با به کار گیری ۲۰ میلی‌گرم کاتالیزگر ناهمگن Mo-AFNB

جدول ۳-۸: بررسی اثر مقدار کاتالیزگر ناهمگن Mo-AFNB در اپوکسایش ۰/۵ میلی‌مول سیکلواکتن در ۱ میلی‌لیتر  
حال حلال تتراکلرید کربن با ۱/۱۲ میلی‌مول اکسنده TBHP به مدت ۲۱۰ دقیقه در دمای جوش حلال.....۴۴

جدول ۳-۹: بررسی اثر دما در اپوکسایش ۰/۵ میلی‌مول سیکلواکتن با ۱/۱۲ میلی‌مول اکسنده TBHP در ۰/۵  
میلی‌لیتر حلال تتراکلرید کربن با ۲۵ میلی‌گرم کاتالیزور ناهمگن.....۴۵

جدول ۳-۱۰: بررسی بازیابی کاتالیزور ناهمگن Mo-AFNB در اپوکسایش ۰/۵ میلی‌مول سیکلو اکتن با ۱/۴ میلی‌مول  
اکسنده TBHP در ۰/۵ میلی‌لیتر حلال تتراکلرید کربن با ۲۵ میلی‌گرم کاتالیزور به مدت ۲۱۰ دقیقه در دمای ۰°C  
۴۶ .....۸۰

جدول ۱۱-۳: شرایط بهینه برای اپوکسایش سیکلواکتن..... ۴۷

جدول ۱۲-۳: داده‌های حاصل از اپوکسایش آلکن‌های گوناگون با ۲۵ میلی‌گرم کاتالیزور ناهمگن Mo-AFNB، ۰/۵ میلی مول آلکن، ۱/۱۲ مول ترشیو بوتیل هیدروژن پراکسید و ۰/۵ میلی‌لیتر حلal تتراکلرید کربن در زمان‌های مختلف و دردمای جوش حلal ..... ۴۸

جدول ۱۳-۳: مقایسه سیستم کاتالیزوری Mo-AFNB با سیستم‌های کاتالیزوری مشابه ..... ۵۱

فصل اول

مقدمه و تئوري



## ۱-کاتالیزگرها:

کاتالیزور ترکیبی است که با مقادیر کم نسبت به واکنشگرها استفاده شده و بدون مصرف شدن در طی واکنش، سرعت واکنش را تغییر می‌دهد. کاتالیزگرها به دو دسته همگن<sup>۱</sup> و ناهمگن<sup>۲</sup> تقسیم می‌شوند. هر دو دسته در صنعت مورد استفاده قرار می‌گیرند اما سهم کاتالیزگرهای همگن بسیار کمتر می‌باشد و در حدود ۸۵ درصد فرایندهای کاتالیزوری صنعتی با کاتالیزورهای ناهمگن انجام می‌شوند. کاتالیزگرهای همگن نسبت به گونه‌های ناهمگن دارای برتری‌هایی می‌باشند. نخست آنکه همه مکان‌های فعال کاتالیزوری قابل دسترس می‌باشد، زیرا کاتالیزگر با واکنشگرها در یک فاز قرار دارد که افرون بر آن، شیمی‌گزینی<sup>۳</sup>، فضایگزینی<sup>۴</sup> و اننتیومرگزینی<sup>۵</sup> با این کاتالیزگر ساده‌تر کنترل می‌شود. اما شیوه‌های جداسازی فرآورده همچون تقطیر، کروماتوگرافی و استخراج در بیشتر فرایندها سبب تجزیه شدن کاتالیزگر می‌شود. همچنین، با اینکه بسیاری از این کاتالیزگرهای همگن، نظری کمپلکس‌های فلزی، در بیشتر واکنش‌های آلی فعال هستند، اما یکی از مسائل مهم در به‌کارگیری آن‌ها، بازیابی این کاتالیزگرهای همگن از محیط واکنش است. بنابراین قرار دادن گونه‌های فلزی بر روی بستر و تهییه کاتالیزگرهای ناهمگن از به‌کارگیری کاتالیزگرهای همگن سودمندتر است چرا که به‌سادگی می‌توان کاتالیزگر را از واکنشگرها و فرآوردها جدا نمود. این ویژگی برای کاتالیزگرهای سمی و گران‌قیمت بسیار مهم می‌باشد. از دیگر برتری‌های کاتالیزگرهای ناهمگن می‌توان کاهش مسیرهای غیرفعال شدن با جدا شدن محل‌های فعال از یکدیگر و نگهداری ساده‌تر آن‌ها را نام برد. از این‌رو، در تهییه کاتالیزگرهای ناهمگن بایستی ویژگی‌هایی را در نظر گرفت. یکی از این ویژگی‌ها آن است که شیوه تهییه کاتالیزگر بایستی به گونه‌ای باشد که بر کارایی کاتالیزوری تاثیر نگذارد، بدین شکل که ممکن است کارایی کاتالیزگر با توجه به لیگاند و نگهدارنده برگزیده، پایین باشد و از این‌رو

<sup>1</sup> Homogeneous

<sup>2</sup> Heterogeneous

<sup>3</sup> chemo selectivity

<sup>4</sup> stereo selectivity

<sup>5</sup> enantiomer selectivity

می‌بایست برای بهبود کارایی کاتالیزگر، گونه‌های جایگزین به کار گرفته شوند. افزون بر آن گزینش‌پذیری انتخاب‌گری کاتالیزگرنشانده شده بر بستر می‌بایست نسبت به کاتالیزگر مشابه همگن بهتر یا حداقل برابر باشد. در پایان، جداسازی کاتالیزگر ناهمگن با یک شیوه ساده امکان‌پذیر باشد و حداقل ۹۵ درصد کاتالیزگر بازیافت گردد [۱-۵].

## ۱-۲-۱- نگهدارنده‌های کاتالیزگرهای ناهمگن و ویژگی‌های آن‌ها

یکی از ابزارهای مهم در کنترل ساختار و پایداری یک کاتالیزگر، انتخاب یک نگهدارنده‌ی مناسب است. نگهدارنده قسمت بدنی کاتالیزگر را می‌سازد که بخش کارامد کاتالیزگر روی آن پیوند می‌شود. یک نگهدارنده باید از نظر شیمیایی بی‌اثر باشد و مساحت سطح ویژه‌ی بالایی داشته باشد. نگهدارنده‌ها در بیشتر موارد کارایی کاتالیزوری ندارند و برای افزایش پایداری مکانیکی و حرارتی کاتالیزگر به کار گرفته می‌شوند که از خرد شدن و کلوخه شدن آن جلوگیری می‌کند. برای این‌که بتوان کاتالیزگرهای ناهمگن را در صنعت به کار گرفت بایستی کاتالیزگر کارایی و گزینش‌پذیری بالایی داشته باشد. نگهدارنده‌ها نسبت به گونه‌های کاتالیزگر ارزان‌تر بوده و دارای مساحت سطح زیادی می‌باشد [۶ و ۷].

## ۱-۲-۱- نگهدارنده‌های آلی

در فرایندهای کاتالیزوری ناهمگن، بسترهای آلی با ویژگی‌های گوناگون همچون پلیمرهای دارای اتصال عرضی، پلیمرهای محلول و نامحلول و پلیمرهای حفره‌دار به کار گرفته شده‌اند. کاربرد پلی استایرن و پلی(استایرن-دی-وینیل بنزن) بیش از سایر نگهدارنده‌های پلیمری گزارش شده‌اند که این به سبب ارزان بودن، در دسترس بودن، قدرت مکانیکی مناسب، بی‌اثر بودن از دیدگاه شیمیایی و سادگی عامل‌دار کردن آن‌ها می‌باشد. دیگر پلیمرهای پرکاربرد از این دیدگاه پلی وینیل کلرید، پلی آکریلات و سلولز می‌باشند [۸]. این پلیمرها افزون بر خواص مکانیکی خوب همچون مقاومت در برابر سایش و پایداری گرمایی، می‌بایست دست‌یابی به حفره‌های آن‌ها ساده بوده و دارای محلهای

مناسبی برای پیوند کاتالیزگر به پلیمر باشد. از همه مهمتر، این پلیمرها می‌بایست حلالیت پایینی در محیط واکنش داشته باشد. همه این‌ها، بیشتر پلیمرهای آلی از دیدگاه شیمیایی و گرمایی ناپایدار بوده و نفوذ واکنشگر برای رسیدن به مکان‌های فعال آن‌ها سخت است. بنابراین تلاش برای یافتن نگهدارنده‌های پلیمری پایدارتر با مکان‌های کارآمد در دسترس‌تر، همچنان ادامه دارد.

### ۲-۲-۱- نگهدارنده‌های معدنی

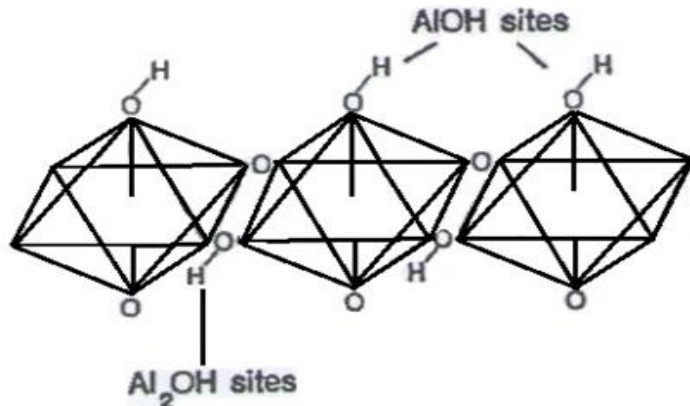
اگر چه نگهدارنده‌های معدنی کمتر از پلیمرهای آلی به عنوان نگهدارنده به کار گرفته شده‌اند، اما برتری‌های آن‌ها نسبت به پلیمرها عبارتند از: پایداری گرمایی بالا، بی‌تغییر بودن ساختار در حلال‌های گوناگون، ماندگاری طولانی‌تر و برهمکنش ناچیز با کاتالیزگرنشانده شده. بسیاری از نگهدارنده‌های معدنی دارای گروه‌های هیدروکسیل سطحی می‌باشند که می‌توانند برای اتصال گروه‌های مختلف به کار گرفته شوند. امروزه شیوه‌های اصلاح سطح اکسیدهای معدنی با تغییر گروه‌های هیدروکسیل سطحی برای تهیه فازهای ساکن کروماتوگرافی و پیوند کاتالیزگرهای گوناگون بسیار گسترش یافته اند<sup>[۹]</sup>. از میان نگهدارنده‌های معدنی، سیلیکا، تیتانیوم دی اکسید، زئولیتها MCM-ها بیشتر به کار گرفته شده‌اند.

### ۱-۲-۲-۱- بوهمیت

بوهمیت<sup>۱</sup> اکسی هیدروکسید آلومینیوم،  $\text{AlOOH}$ ، با مقادیر مولکول‌های آب و اندازه بلوری گوناگون می‌باشد که جایگاه ویژه‌ای در تهیه کاتالیزگرهای گوناگون با پایه آلومینیا دارد. بوهمیت دارای آرایش h.c.p از آنیون‌های اکسیژن است که تمامی حفره‌های هشت‌وجهی آن را کاتیون‌های  $\text{Al}^{3+}$  پر کرده‌اند. ساختار آن از واحدهای  $\text{AlO}_4(\text{OH})_3$  یا  $\text{AlO}_3(\text{OH})_2$  هشت‌وجهی انحراف یافته که با پیوندهای هیدروژنی کنار هم قرار گرفته‌اند، شکل ۱-۱ است (شکل ۱-۱). اتم‌های اکسیژن که بر روی سطح بوهمیت قرار گرفته‌اند دهنده‌های الکترون هستند که می‌توانند با گونه‌های فعال به

<sup>۱</sup>Boehmite

سادگی پیوند کووالانسی برقرار کنند. این ساختار با داشتن ذرهایی در ابعاد نانو مساحت سطح بسیار بالایی داشته و می‌تواند در جایگاه یک نگهدارنده برای ساخت نانو کاتالیزگرها به کار گرفته شود. یکی از روش‌های سنتز آن هیدروترمال سل-ژل می‌باشد.



شکل ۱-۱: ساختار بوهمیت [۱۰].

### ۱-۳-۳- فرایند سل-ژل

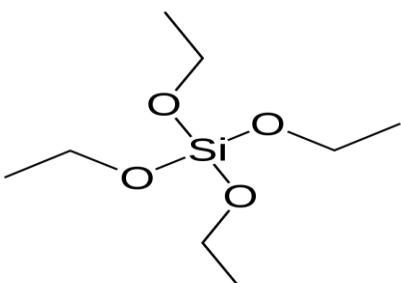
فرایند سل-ژل<sup>۱</sup> یک روش شیمیایی تر برای تهیه انواع نانو ساختارها بهویژه نانو ذرات هادی اکسیدهای فلزی می‌باشد که نسبت به روش‌های دیگر دارای مزیت‌های زیادی است همچون سنتز در دمای پایین، تهیه فرآوردهایی با خلوص بالا، بازدهی بسیار بالا، تولید قطعات اپتیکی با اشکال پیچیده، امکان طراحی کامپوزیت از اکسیدهای فلزی، امکان به کارگیری فرآورده به شکل الیاف، آئروژل<sup>۲</sup> یا لایه‌های نازک برای پوشش سطح و تولید مواد متخلخل واکنش‌پذیری بالای پیش ماده‌ها و انجام این فرایند در فاز محلول، امکان کنترل دقیق ساختار فرآوردها با تنظیم متغیرهای مرحله نخست تشکیل سل و یا ژل را فراهم می‌آورد. اگر چه ریشه‌ی فرایندهای سرامیکی بر پایه‌ی علم شیمی به ۴۰۰۰ سال قبل از میلاد مربوط می‌شود، ولی مفهوم کنترل شکل و ساختار مولکولی سرامیک‌ها و شیشه‌ها با به کارگیری شیمی سل-ژل به کشفیات برگمن<sup>۳</sup> روی شیشه‌های آبی در سال ۱۹۵۰ از آن در دهه ۱۹۵۰ بررسی‌های گسترده‌ای در زمینه‌ی تهیه‌ی سرامیک‌ها و

<sup>1</sup> Sol-gel

<sup>2</sup> Aerogel

<sup>3</sup> Bergman

ساختارهای شیشه‌ای با روش سل-ژل انجام شد [۱۲ و ۱۳]. الکوکسیدهای فلزی از خانواده ترکیبات فلزی آلی می‌باشند که شامل یک بنیان آلی متصل به یک عنصر فلزی یا شبه فلزی بوده و پیش ماده‌ای برای فرآیند سل-ژل هستند. یکی از الکوکسیدهایی که بسیار بررسی شده است ترا اتوکسید سیلیسیم یا  $\text{Si}(\text{OC}_2\text{H}_5)_4$  می‌باشد (شکل ۱-۲) که با نام تتراتوكسی سیلان نیز شناخته می‌شود.



شکل ۱-۲: تترا اتوکسید سیلیسیم  $(\text{Si}(\text{OC}_2\text{H}_5)_4)$

فرآیند سل-ژل که در شکل ۱-۳ ملاحظه می‌کنید برای به دست آوردن گونه‌های معدنی از پیش ماده‌های الکوکسیدی در چند مرحله متوالی رخ می‌دهد. این فرایندها به قرار زیر هستند:

۱- مخلوط کردن پیش ماده‌ها<sup>۱</sup>

۲- شکل‌دهی<sup>۲</sup>

۳- ژل شدن<sup>۳</sup>

۴- کهنه شدن<sup>۴</sup>

۵- خشک شدن<sup>۵</sup>

۶- آب‌گیری یا پایدار کردن شیمیایی<sup>۶</sup>

۷- متراکم کردن<sup>۷</sup>

<sup>۱</sup> mixing

<sup>۲</sup> forming

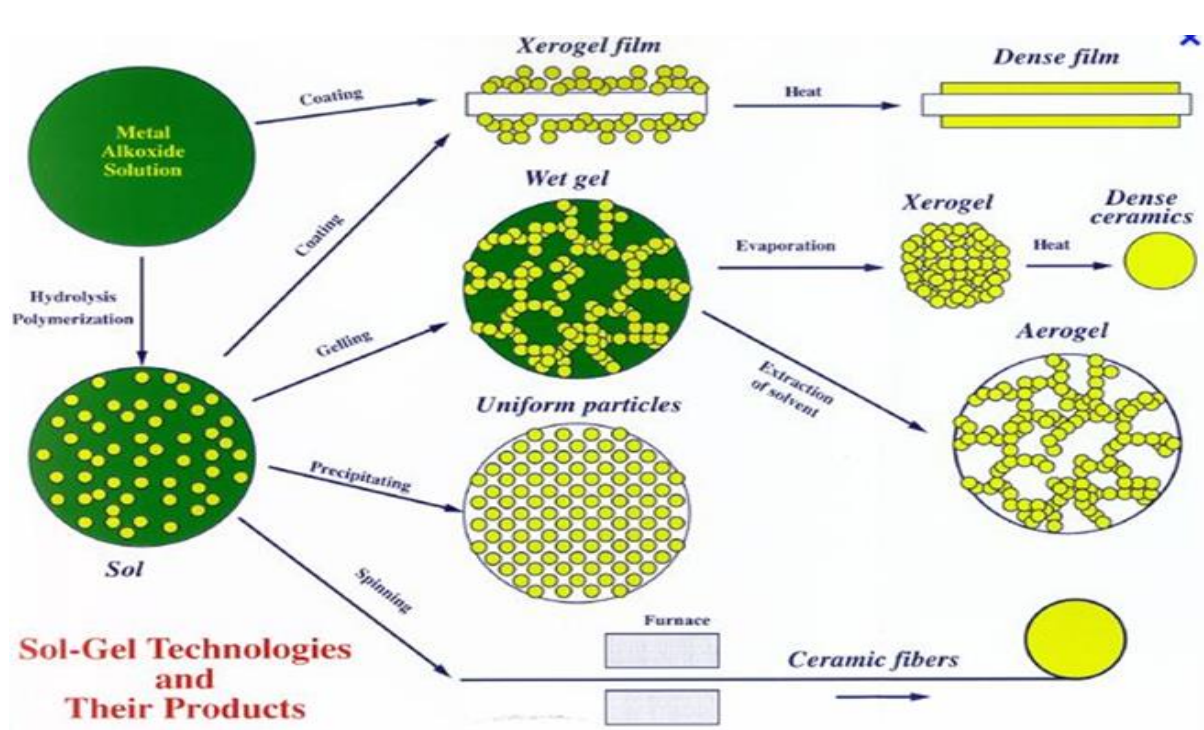
<sup>۳</sup> gelation

<sup>۴</sup> aging

<sup>۵</sup> drying

<sup>۶</sup> dehydration or chemical stablization

<sup>۷</sup> densification and sintering



شکل ۱-۳: فرایند سل-ژل و مراحل آن [۱۴].

#### ۴-۱ مولیبدن (Mo)

این عنصر در دومین سری واسطه جای دارد. مولیبدن و تنگستن از نظر شیمیایی مشابه‌اند، اگر چه تفاوت‌هایی بین آن‌ها در انواع ترکیباتی که تشکیل می‌دهند وجود دارد. حالت دو ظرفیتی که در مورد کروم به خوبی مشخص شده است در مورد مولیبدن و تنگستن جز ترکیباتی که در آن‌ها پیوندهای قوی فلز-فلز وجود دارد، به خوبی شناخته نشده‌اند. مولیبدن و تنگستن علاوه بر داشتن حالات اکسایش متعدد، در ترکیبات خود دارای استرئوشیمی گوناگون می‌باشد و شیمی این دو عنصر در بین عناصر واسطه از پیچیده‌ترین آن‌ها است. مولیبدن یکی از عناصر واسطه است که از دیدگاه بیولوژیکی نیز فعال است و به نظر می‌رسد که یک عنصر لازم در تغذیه‌ی حیوانات می‌باشد، ولی از نظر کمی مقدار جزئی از آن لازم است. همچنین روشن شده است که باکتری‌های ثبیت‌کننده‌ی ازت، آنزیم‌هایی دارند که دارای Mo و Fe می‌باشند. مولیبدن بیشتر به شکل سنگ معدن مولیبدنیت ( $\text{MoS}_2$ )، یافت می‌شود. مقدار کم  $\text{MoS}_2$  در کانی‌ها به روش غوطه‌ور ساختن در کف (فلوتاسیون) تغليظ می‌گردد. سپس کانی تغليظ شده را به  $\text{MoO}_3$  تبدیل می‌شود که پس از خالص کردن

به وسیله‌ی هیدروژن به فلز کاهش داده می‌شود. از کاهش مولیبدن اکسید به مولیبدن به وسیله‌ی کربن باید اجتناب گردد، زیرا در طی این عمل به جای فلز، کربور تشکیل می‌گردد. فلز مولیبدن ابتدا به صورت پودر تهیه می‌گردد و رنگ خاکستری تیره دارد، ولی هنگامی که به وسیله‌ی ذوب کردن به صورت توده‌ای از فلز در می‌آید دارای جلای سفید نقره‌ای با ظاهر و خواص فلزی است. هدایت الکتریکی آن ۳۰ درصد نقره می‌باشد و این فلز بسیار دیرگذار است [۱۵].

## ۱-۵- روش نشاندن کمپلکس‌های فلزی بر گونه‌های معدنی

روش‌های گوناگونی برای نشاندن کمپلکس‌های فلزی بر روی نگهدارنده‌ها به کار برده می‌شود که از آن میان دو دسته‌ی زیر را بررسی می‌کنیم:

۱- روش‌هایی که در آن سعی می‌شود کره‌ی کوئوردیناسیون فلز دست نخورده بماند. این روش‌ها می‌توانند به گونه‌ی زیر دسته‌بندی شوند:

الف) پیوند زدن کاتالیزگرهای همگن بر روی اکسیدهای فلزی یا پلیمرهای دارای لیگاند کوئوردینه شونده

ب) کپسوله کردن<sup>۱</sup> کاتالیزگر در حفره‌های خالی نگهدارنده‌ی آلی یا معدنی

۲- روش‌هایی که در آن‌ها کمپلکس‌های فلزی با پیوند هسته‌ی فلزی بر اتم‌های سطحی بر روی تکیه‌گاه قرار می‌گیرند و به دو روش جداگانه بررسی می‌شوند:

الف) روشی که کمپلکس فلزی به شکل یک کاتالیزگر همگن پیش‌ساز رفتار می‌کند.

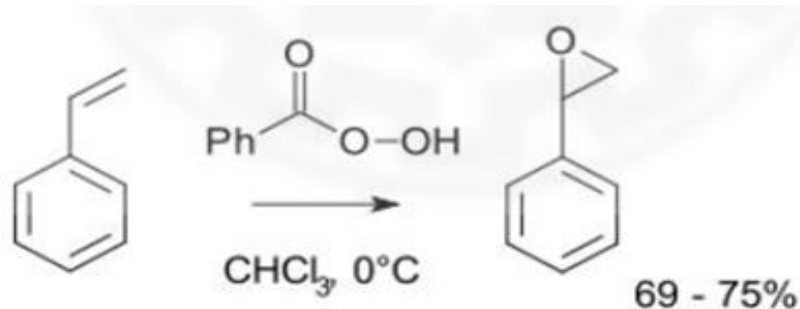
ب) روشی که کمپلکس پیش‌ساز آلی-فلزی به تکیه‌گاه پیوند می‌شود و در فرایند بعد آن، این کمپلکس پیوند شده بر روی تکیه‌گاه به روش شیمیایی به کاتالیزگر مولکولی تبدیل می‌شود. این گروه از کاتالیزگرهای را کاتالیزگرهای مولکولی ناهمگن<sup>۱</sup> می‌نامند.

<sup>1</sup> Encapsulation

پیوند کاتالیزگرهای همگن روی اکسیدهای فلزی یا پلیمرهای دارای لیگاند کوئوردینه شونده یکی از نخستین روش‌هایی بوده که در آن پلیمرهای آلی و یا اکسیدهای معدنی ابتدا دارای گروه فعال شده و سپس کاتالیزگر فلزی با پیوند این گروه به تکیه‌گاه با نیروی الکترواستاتیکی یا کووالانسی به آن پیوند می‌شوند. اکثر گروه‌هایی که بر روی تکیه‌گاه پیوند می‌شوند آن‌هایی هستند که دارای یک یا چند اتم دهنده‌ی فسفر، نیتروژن، اکسیژن یا گوگرد هستند [۱۶].

## ۱-۶- اپوکسایش اولفین‌ها

اپوکسیدها از واکنش آلکن‌ها با واکنشگرهای دارای پراکسید به دست می‌آید. واکنشگرهای پراکسیدی ترکیباتی مثل هیدروژن پراکسید، پراکسی کربوکسیلیک اسیدها و آلکیل هیدرو پراکسیدها می‌باشند. به عنوان مثال در تولید پروپیلن اکسید از پروپیلن، ترشیو بوتیل هیدروپراکسید یا اتیل بنزن هیدروپراکسید به کار گرفته می‌شوند [۱۷]. در شکل ۱-۴ اپوکسایش استایرن با پرینزوئیک اسید نشان داده شده است.



شکل ۱-۴: اپوکسایش استایرن با پرینزوئیک اسید [۱۷].

## ۱-۶-۱- اپوکسایش آلکن‌ها با کاتالیزورهای حاوی مولیبدن

کمپلکس‌های مولیبدن برای واکنش‌های اپوکسایش با آلکیل هیدروژن پراکسید در جایگاه اکسنده بسیار مناسب هستند. مکانیسم سویزاك بر مبنای تشابه ساختاری کاتالیزگر در این زمینه پذیرفته

<sup>2</sup> Heterogeneous molecular catalyst

شده است که نمونه‌ای از آن برای اپوکسایش سیکلوهگزن با TBHP در شکل (۱-۵) آمده است.

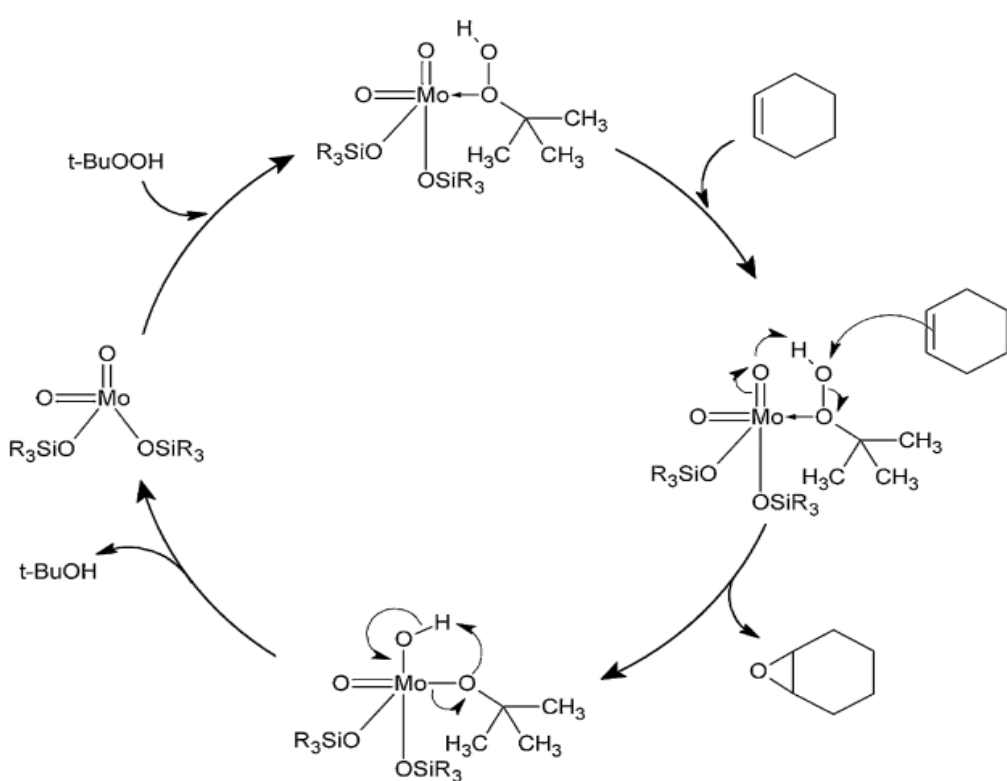
فرایندهای پایه به قرار زیر هستند:

۱- تشکیل کمپلکس میانی  $t\text{-BuOOH(L)}_2\text{MoO}_2$  و فعالسازی مولکول TBHP

۲- برهمنش بین آلکن و مولکول TBHP که در کوئوردیناسیون داخلی کمپلکس مولیبدن رخ می‌دهد.

۳- شکل‌گیری اپوکسید و به دست آمدن  $t\text{-BuOH}$  از TBHP

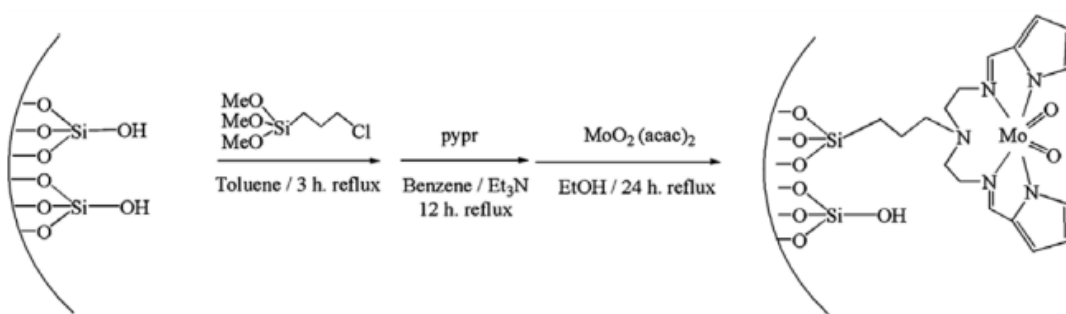
۴- جانشینی  $t\text{-BuOOH(L)}_2\text{MoO}_2$  و به دست آوردن دوباره کمپلکس میانی  $t\text{-BuOH}$



شکل ۱-۵: چرخه کاتالیزوری جابه‌جا شدن اکسیژن به اولفین‌ها با اکسیده ترشیو بوتیل هیدروژن پراکسید و کاتالیزگر مولیبدن [۱۸].

## ۱-۷- پژوهش‌های انجام شده با کاتالیزگرهای مولیبدن

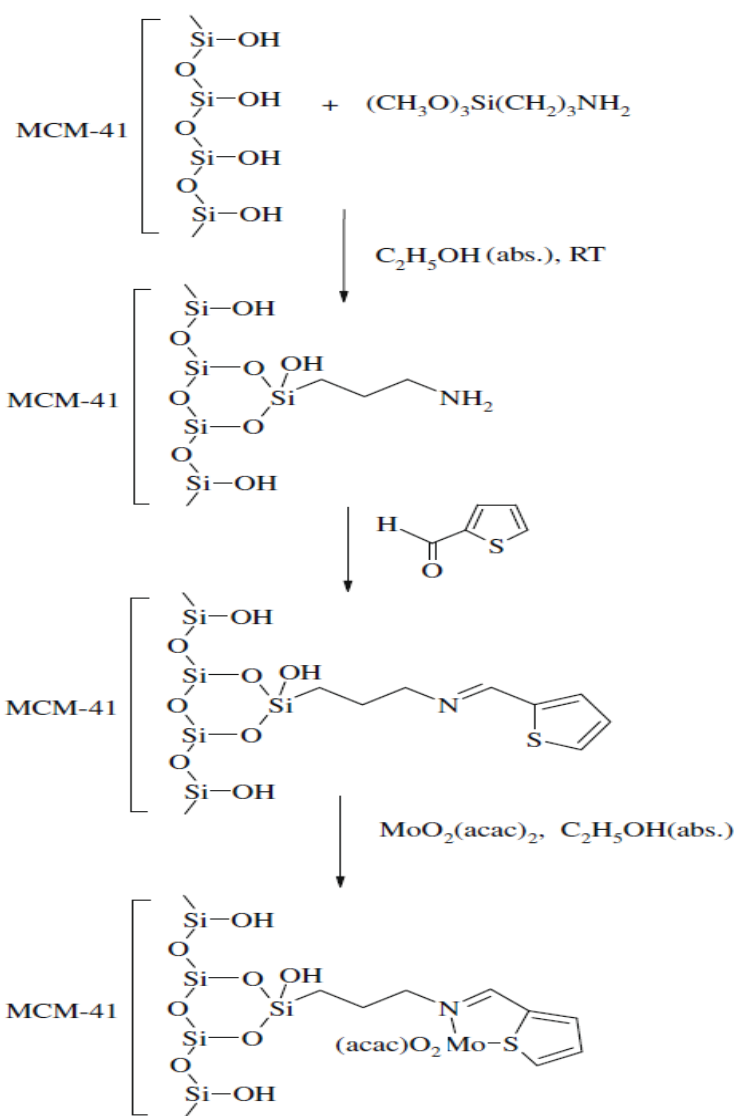
در سال ۲۰۰۷ مستری فراهانی<sup>۱</sup> و همکارانش با نشاندن مولیبدن روی بستر MCM-41 عامل‌دار شده با لیگاند شیف باز دو دندانه N<sub>4</sub>کاتالیزگری تهیه کردند که اپوکسایش اولفین‌ها را با اکسنده ترشیو بوتیل هیدروژن پراکسید در حلal کلروفرم، به صورت انتخابی انجام می‌داد (شکل ۱-۶).



شکل ۱-۶: قرار گرفتن مولیبدن (IV) روی MCM-41 عامل‌دار شده [۱۹].

در سال ۲۰۰۹ تنگستانی نژاد<sup>۲</sup> و همکارانش اپوکسایش کاتالیزوری اولفین‌ها با اکسنده ترشیو بوتیل هیدروژن پراکسید با کاتالیزگر MoO<sub>2</sub>(acac)<sub>2</sub> نشانده شده روی بستر MCM-41 را گزارش کردند. این کاتالیزگر که دارای لیگاند باز شیف کیلیت شده از اتم‌های دهنده N-S بود (شکل ۱-۷)، برای اپوکسایش اولفین‌ها در حلal ۱-او-دی کلرواتان به کار گرفته شد. این سیستم کاتالیزوری کارایی بالایی در اپوکسایش آلکن‌ها نشان داد و بازیابی آن در چندین مرحله در اپوکسایش سیکلواکتن گزارش شد.

<sup>1</sup>Farahani  
<sup>1</sup>Tangestaninejad

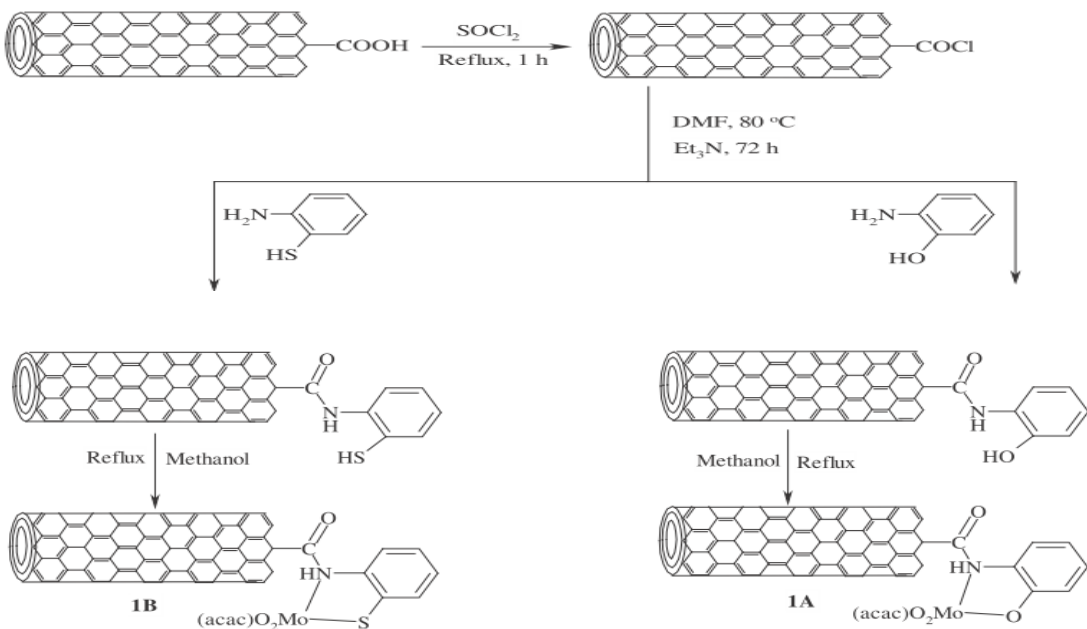


شکل ۱-۷: قرار گرفتن مولیبدن (VI) روی ج [۲۰ MCM-41].

در سال ۲۰۱۲ نیز اثنا عشری<sup>۱</sup> و همکارانش فعالیت کاتالیزوری  $\text{MoO}_2(\text{acac})_2$  بر روی نانو لوله‌های کربن اصلاح شده با ۲- آمینو فنول و ۲- آمینو تیوفنول را بررسی کردند (شکل ۱-۸). این کاتالیزگر برای اپوکسایش آلکن‌ها با ترشیو بوتیل هیدروژن پراکسید در جایگاه اکسنده در حلال ۱ و ۲- دی کلرو اتان به کار گرفته شد. این سیستم کاتالیزوری کارایی بالایی در اپوکسایش آلکن‌ها نشان داد و بازیابی آن در چندین مرحله پی‌درپی بدون کاهش در کارایی کاتالیزوری گزارش شد.

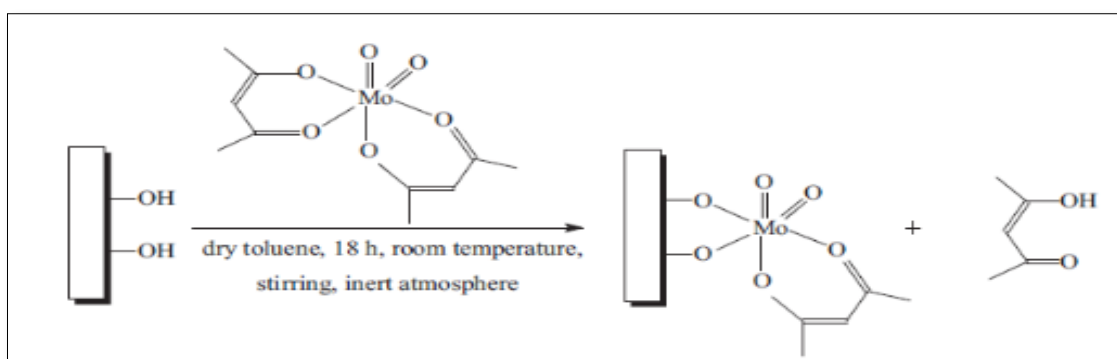
---

<sup>1</sup>Asnaashari



شکل ۱-۸: قرار گرفتن مولیبدن (IV) بر روی نانولوله‌های کربن [۲۱].

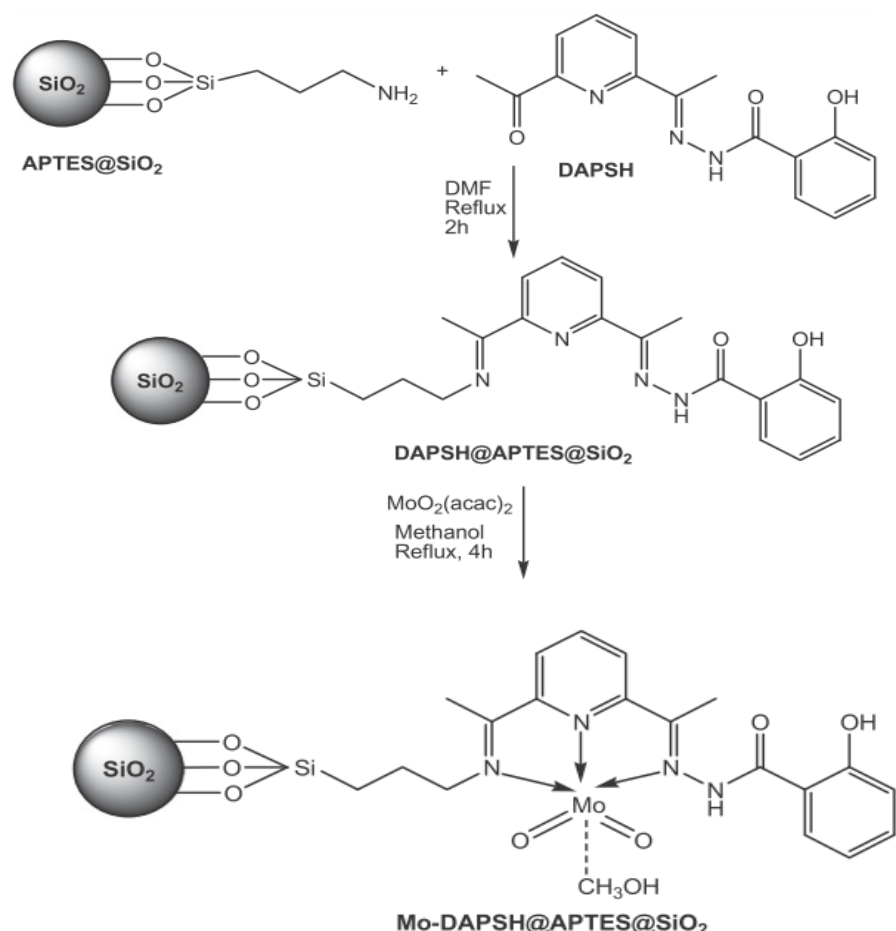
در سال ۲۰۱۱، ماریانا فارایس<sup>۱</sup> و همکارانش، کاتالیزگر ناهمگنی را با نشاندن ترکیبی از مولیبدن بر روی خاک مونت موریلونیت K10 تهیه کردند (شکل ۱-۹). این کاتالیزگر برای اپوکسایش روغن سویا و کرچک به کار گرفته شد. این کاتالیزگر نیز کارایی و کاتالیزگری بالایی را از خود نشان می‌دهد.



شکل ۱-۹: قرار گرفتن مولیبدن (VI) روی خاک مونت موریلونیت K10 [۲۲].

<sup>1</sup>Maritanafarias

در سال ۲۰۱۲ نیز شرما<sup>۱</sup> و همکارانش ویژگی کاتالیزوری  $\text{MoO}_2(\text{acac})_2$  را بر روی سیلیکای عامل دار شده در حضور اکسیدنده ترشیو بوتیل هیدروژن پر اکسید بررسی کردند (شکل ۱۰-۱) که گزینش‌پذیری، کارایی و ثبات بالایی از خود نشان داد. توانایی این کاتالیزگر بعد از چندین بار بازیابی حفظ گردید.



شکل ۱۰-۱: قرار گرفتن مولیبden(IV) بر روی سیلیکای عامل دار شده [۲۳].

<sup>1</sup>Sherma

همان‌طور که می‌دانیم درصد بالایی از فرآورده‌های شیمیایی به کمک کاتالیزگرها تهیه می‌شوند. نانو کاتالیزگرها به سبب ویژگی‌های منحصر به فردی که در صنعت دارند توجه فراوانی به آن‌ها شده است. از طرفی با توجه به کارهای مرور شده در این پژوهش ساخت نانو کاتالیزگرهای مولیبدن جهت کاربرد در اپوکسایش آلکن‌ها مورد توجه قرار گرفت. افزون بر این نانوبوهیمت به‌سبب مساحت سطح زیاد و دارا بودن گروه‌های هیدروکسیل به عنوان بستر جهت تثیت کاتالیزگر مولیبدن انتخاب گردید. با این هدف نخست به روش هیدروترمال سل-ژل بستر نانوبوهیمت تهیه شد. سپس با ۳- متوكسی سایلیل پروپیل آمین عامل‌دار شد. در پایان فلز مولیبدن بر روی بستر نشانده شد و ویژگی‌های کاتالیزوری آن در اپوکسایش الکن‌ها بررسی شد.

فصل دوم

تجربی



## **۲- بررسی اپوکسایش آلکن‌ها به‌وسیله سیستم کاتالیزوری ناهمگن مولیبدن ثبیت شده بر روی نانو بوهمنیت**

کاتالیزگرهای ناهمگن جدید با عامل‌دار کردن بستر نانو بوهمنیت و با نشاندن فلز مولیبدن بر روی آن تهیه شد و با روش‌های طیف سنجی ساختار ماده بررسی شد. در مرحله بعد این کاتالیزگر در اپوکسایش آلکن‌ها به کار رفت و پارامترهای مختلفی چون نوع حلال، نوع اکسنده، مقدار حلال مقدار اکسنده، مقدار کاتالیزگر، زمان، دما و آلکن‌های مختلف مورد بررسی قرار گرفت.

### **۱-۲- مواد و معرفه‌های به کار گرفته شده**

تری اتوکسی سایلیل پروپیل آمین،  $\text{MoO}_2(\text{acac})_2$ . آلکن‌ها، حلال‌ها و مواد دیگر از شرکت مرک و فلوکا تهیه و به کار گرفته شد. آلکن‌های مورد استفاده عبارتند از: سیکلواکتن، سیکلوهگزن، ۱-هگزن، ۱-اکتن،  $\alpha$ -متیل استایرن،  $\alpha$ -پین و استایرن. حلال‌های مورد استفاده عبارتند از: استونیتریل، کلروفرم، تتراکلریدکربن، دی کلرومتان، استون، اتانول، متانول و تولوئن. اکسنده‌های مورد استفاده عبارتند از: ترشیو بوتیل هیدروژن پراکسید، اوره هیدروژن پراکسید و آب اکسیژنه.

### **۲-۲- دستگاه‌های به کار گرفته شده**

#### **۱-۲-۲- دستگاه کروماتوگرافی گازی (GC)**

فرآورده‌های اپوکسایش به‌وسیله مقایسه‌ی زمان بازداری آن‌ها با نمونه‌های خالص شناسایی و مقدار آن‌ها به‌دست آمد و میزان پیشرفت واکنش‌ها بررسی شد. به این منظور دستگاه کروماتوگرافی گازی مدل میکروپارس با آشکارساز یونش شعله‌ای و ستون Silicon DC-200، ساخت شرکت طیف گستر به کار گرفته شد. گاز حامل نیتروژن با فشار ۲ بار، سرعت گاز اکسیژن  $150 \text{ ml/min}$ ، هیدروژن  $30 \text{ ml/min}$  و دما بر حسب نوع آلکن  $60-180^\circ\text{C}$  تنظیم گردید.

## ۲-۲-۲- دستگاه آنالیز عنصری

آنالیز عنصری بهوسیله دستگاه Truspec CHNS شرکت Leco USA انجام گرفت.

## ۲-۲-۳- دستگاه پراش پرتو ایکس

الگوهای پراش پرتو ایکس نمونه‌های پودری بهوسیله دستگاه STOE با لامپ مس ثبت شد.

## ۲-۲-۴- دستگاه‌های طیف سنج فروسرخ تبدیل فوریه

تمامی طیف‌های IR بهوسیله دستگاه Rayleigh WQF-510A FT-IR و با قرص پتاسیم برミد خشک گرفته شد.

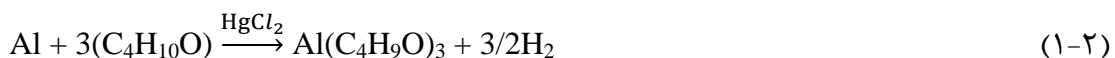
## ICP -۵-۲-۲

درصد فلز نشانده شده با دستگاه ICP ساخت شرکت Integralx اندازه‌گیری شد.

## ۲-۳-۲- تهیه واکنش‌گرها و کاتالیزگرهای مولیبден نشانده شده بر روی نانو بوهمیت

### ۲-۳-۲-۱- تهیه آلکوکسید آلومینیوم ۲- بوتوکسید

آلکوکسید آلومینیوم ۲- بوتوکسید بر پایه‌ی واکنش زیر و به روش‌های گزارش شده تهیه شد [۲۴]:



آلومینیوم ۲- بوتوکسید در دمای  $167^{\circ}\text{C}$  و فشار حدود ۵ میلی متر جیوه تقطیر و خالص سازی شد. سپس با حلal ۲- بوتانول تا ۲ مولار رقیق شد و در ظرف بسته دور از رطوبت نگهداری گردید که از این ترکیب به عنوان پیش ماده در تهیه نانو بوهمیت به روش سل- ژل استفاده شد.

### ۲-۳-۲- تهیه بستر نانو بوهمیت

۱۰ میلی لیتر محلول ۲ مولار آلومنیوم ۲- بوتوکسید درون یک بشر ۲۵ میلی لیتری ریخته و داخل راکتور استیل حاوی ۸۰ میلی لیتر آب قطر قرار داده شد. سپس راکتور به مدت ۵ ساعت در دمای  $100^{\circ}\text{C}$  در آون حرارت داده شد تا با نفوذ آب به الکوکسید آبکافت انجام شود. سپس فرآورده در دمای  $100^{\circ}\text{C}$  خشک و بعد از پودر کردن به عنوان ماده اولیه برای مرحله بعدی مورد استفاده قرار گرفت.[۱۰].

### ۲-۳-۳- تهیه نانو بوهمیت عامل دار شده با لیگاند آمین دار

در یک بالن ۱۰۰ میلی لیتری مقدار ۶۱ میکرو لیتر ( $35/\text{میلی مول}$ ) از تری اتوکسی سایلیل پروپیل آمین به ۱ گرم نانو بوهمیت اضافه گردید و پس از افزودن ۵۰ میلی لیتر تولوئن خشک به مدت ۲۴ ساعت در دمای  $110^{\circ}\text{C}$  رفلaks شد. فرآورده بعد از سانتریفیوژ مخلوط واکنش، جدا و پس از چند بار شستشو با تولوئن در دمای  $100^{\circ}\text{C}$  در آون خشک گردید. برای این فرآورده درصد نیتروژن با استفاده از آنالیز CHN ۴۶/۰ درصد گزارش شد.[۱۰].

### ۲-۳-۴- تهیه کاتالیزور ناهمگن $\text{MoO}_2(\text{acac})_2$ نشانده شده بر روی نانو بوهمیت دارای گروه آمین

در یک بالن ۵۰ میلی لیتری، ۰/۶ گرم از نانوبوهیت آمین دار و ۰/۲ گرم  $\text{MoO}_2(\text{acac})_2$  با میلی لیتر کلروفرم مخلوط شد و در دمای  $70^{\circ}\text{C}$  و به مدت ۲۴ ساعت رفلaks گردید. پس از اتمام واکنش، مخلوط حاصل به وسیله سانتریفیوژ جدا و چند بار با کلروفرم شستشو داده شد و کاتالیزگر حاصل در دمای  $70^{\circ}\text{C}$  در آون خشک گردید. برای این محصول CHN و ICP گرفته شد. و درصد کربن، هیدروژن و نیتروژن به ترتیب ۳/۷۵، ۰/۶۵ و ۰/۴۱۱ و مقدار مولیبدن  $13\text{mmol/gr}$  به دست آمد.

## ۲-۴-۱- بررسی سیستم کاتالیزوری ناهمگن در واکنش اپوکسایش سیکلواکتن

### ۲-۴-۲- بررسی اثر نوع حلال

برای بررسی اثر نوع حلال، ۷ واکنش همسان برای سیکلواکتن انجام شد. بدین ترتیب که در بالن ۱۰ میلی لیتری ۱/۱۲ میلی مول ترشیوبوتیل هیدروژن پراکسید، ۵/۰ میلی مول سیکلواکتن، ۲۰ میلی گرم کاتالیزگر ناهمگن و ۵/۰ میلی لیتر حلال (تتراکلریدکربن، کلروفرم، استونیتریل، دیکلرومتان، استون متانول و تولوئن) با هم مخلوط شدند و به مدت ۳۰۰ دقیقه در نقطه جوش حلال‌های مورد نظر (به ترتیب ۷۶، ۶۲، ۸۲، ۴۰، ۵۶، ۶۵ و ۱۱۰ درجه سانتی‌گراد) در فشار اتمسفر رفلaks گردید و نتایج واکنش‌ها به وسیله دستگاه کروماتوگرافی مورد بررسی قرار گرفت که بر اساس داده‌های بدست آمده حلال تتراکلریدکربن به عنوان بهترین حلال برای بررسی اثرهای بعدی انتخاب شد. نتایج در جدول ۳-۳ و شکل ۷-۳ داده شده است.

### ۲-۴-۳- بررسی اثر نوع اکسنده

برای بررسی اثر نوع اکسنده، ۳ واکنش همسان برای سیکلواکتن انجام شد. بدین ترتیب که در هر بالن ۱۰ میلی لیتری، ۵/۰ میلی مول سیکلواکتن، ۲۰ میلی گرم کاتالیزگر ناهمگن و ۵/۰ میلی لیتر حلال تتراکلریدکربن با هم مخلوط شدند. سپس به هر بالن یکی از اکسنده‌های زیر افزوده شد: ۱/۱۲ میلی مول ترشیوبوتیل هیدروژن پراکسید، ۱/۱۲ میلی مول هیدروژن پراکسید و ۱/۱۲ میلی مول اوره هیدروژن پراکسید. سپس مخلوط هر واکنش به مدت ۳۰۰ دقیقه رفلaks گردید. در ۳ بالن دیگر واکنش‌های مشابهی با ۵/۰ میلی لیتر حلال استونیتریل به جای تتراکلریدکربن انجام شد. نتایج واکنش‌ها با دستگاه کروماتوگرافی گازی بررسی شد که بر این اساس اکسنده ترشیوبوتیل هیدروژن پراکسید در حلال تتراکلریدکربن به عنوان بهترین اکسنده برای ادامه کار انتخاب شد. نتایج در جدول ۴-۳ و شکل ۸-۳ داده شده است.

## **۴-۳-۲- بررسی اثر مقدار حلال**

در ۴ بالن ۱۰ میلی لیتری، مقدار ۵/۰ میلی مول سیکلواکتن، ۲۰ میلی گرم کاتالیزگر ناهمگن، ۱/۱۲ میلی مول ترشیوبوتیل هیدروژن پراکسید با مقدارهای مختلف حلال تتراکلریدکربن (۲/۵-۰) میلی لیتر مخلوط شد. سپس به مدت ۳۰۰ دقیقه مخلوط هر واکنش رفلакс شد. نتایج واکنش‌ها با دستگاه کروماتوگرافی گازی بررسی شد که میزان ۵/۰ میلی لیتر به عنوان بهترین مقدار برای ادامه بررسی انتخاب شد. نتایج در جدول ۳-۵ و شکل ۳-۹ ارائه شده است.

## **۴-۴-۲- بررسی اثر زمان**

در یک بالن ۱۰ میلی لیتری مقدار ۵/۰ میلی مول سیکلواکتن، ۲۰ میلی گرم کاتالیزگر ناهمگن، ۱/۱۲ میلی مول ترشیوبوتیل هیدروژن پراکسید با ۵/۰ میلی لیتر حلال تتراکلریدکربن مخلوط و در زمان های مختلف (۶۰، ۹۰، ۱۲۰، ۱۵۰، ۱۸۰، ۲۱۰، ۲۴۰ و ۲۷۰ دقیقه) رفلакс شد. نتایج با دستگاه کروماتوگرافی گازی بررسی شد که بالاترین بازده پس از ۲۱۰ دقیقه رفلакс در این شرایط حاصل شد. داده‌های این بررسی در جدول ۳-۶ و شکل ۳-۱۰ داده شده است.

## **۴-۵-۲- بررسی اثر مقدار اکسنده**

در ۵ بالن ۱۰ میلی لیتری مقدار ۵/۰ میلی مول سیکلواکتن، ۲۰ میلی گرم کاتالیزگر ناهمگن و ۵/۰ میلی لیتر حلال تتراکلریدکربن در مقدارهای ۰/۲۸، ۰/۵۶، ۰/۸۴ و ۱/۱۲ و ۱/۴ میلی مول اکسنده ترشیو بوتیل هیدروژن پراکسید به مدت ۲۱۰ دقیقه رفلакс گردیده و مقدار ۱/۴ میلی مول به عنوان مقدار بهینه انتخاب شد. داده‌های این بررسی در جدول ۳-۷ و شکل ۳-۱۱ داده شده است.

## ۲-۴-۶- بررسی اثر مقدار کاتالیزور

در ۴ بالن ۱۰ میلی لیتری مقدار ۵/۰ میلی مول سیکلواکتن، ۵/۰ میلی لیتر حلal تتراکلریدکربن و ۱/۴ میلی مول اکسنده ترشیوبوتیل هیدروژن پراکسید به مقدارهای مختلف ۱۵، ۲۰، ۲۵، ۳۰ میلی گرم کاتالیزگر اضافه شد که بعد از ۲۱۰ دقیقه رفلaks نتایج با دستگاه کروماتوگرافی گازی مورد بررسی قرار گرفت که مقدار ۲۵ میلی گرم به عنوان مقدار بهینه برای بررسی های بعدی انتخاب شد. نتایج در جدول ۸-۳ و شکل ۱۲-۳ داده شده است.

## ۲-۴-۷- بررسی اثر دما

در ۳ بالن ۱۰ میلی لیتری، ۵/۰ میلی مول سیکلواکتن، ۲۵ میلی گرم کاتالیزگر ناهمگن، ۱/۴ میلی مول اکسنده ترشیوبوتیل هیدروژن پراکسید و ۵/۰ میلی لیتر حلal تتراکلریدکربن مخلوط شد. سپس مخلوط واکنش در دمای های مختلف (۲۵، ۴۰ و رفلaks) به مدت ۲۱۰ دقیقه هم زده شد. پیشرفت واکنش ها با دستگاه کروماتوگرافی گازی مورد بررسی قرار گرفت که بر این اساس شرایط رفلaks به عنوان دمای بهینه انتخاب شد. نتایج داده ها در جدول ۹-۳ و شکل ۱۳-۳ داده شده است.

## ۲-۴-۸- بررسی بازیابی کاتالیزگر ناهمگن در اپوکسایش سیکلواکتن

در یک بالن ۱۰ میلی لیتری، ۵/۰ میلی مول سیکلواکتن، ۴/۱ میلی مول ترشیوبوتیل هیدروژن پراکسید ۲۵ میلی گرم کاتالیزگر ناهمگن و ۵/۰ میلی لیتر حلal تتراکلریدکربن مخلوط شد و به مدت ۲۱۰ دقیقه رفلaks شد. سپس مخلوط واکنش سانتریفیوژ و پس از خشک شدن کاتالیزگر، دوباره در واکنش مشابه به کار رفت. این بازیابی ۳ بار انجام شد و پیشرفت واکنش ها با دستگاه کروماتوگرافی گازی مورد بررسی قرار گرفت که نتایج در جدول (۳-۱۰) آمده است.

---

## ۹-۴-۲- بررسی اپوکسایش آلکن‌های دیگر با کاتالیزور ناهمگن

در ۵ بالن ۱۰ میلی‌لیتری ، ۵/۰ میلی‌مول از ۶ آلکن مختلف (سیکلوهگزن، ۱- هگزن ۱- اکتن استایرن،  $\alpha$ - پینن و  $\alpha$ - متیل استایرن) با ۲۵ میلی‌گرم کاتالیزگر ناهمگن، ۱/۴ میلی‌مول اکسیده ترشیو بوتیل هیدروژن پراکسید و ۵/۰ میلی‌لیتر حلal تتراکلریدکربن مخلوط شد. مخلوط واکنش‌ها در مدت زمان‌های مختلفی رفلaks شد و نتایج واکنش‌ها با دستگاه کروماتوگرافی گازی مورد بررسی قرار گرفت که نتایج در جدول (۱۱-۳) آمده است.



## فصل سوم

بحث و نتیجه گیری

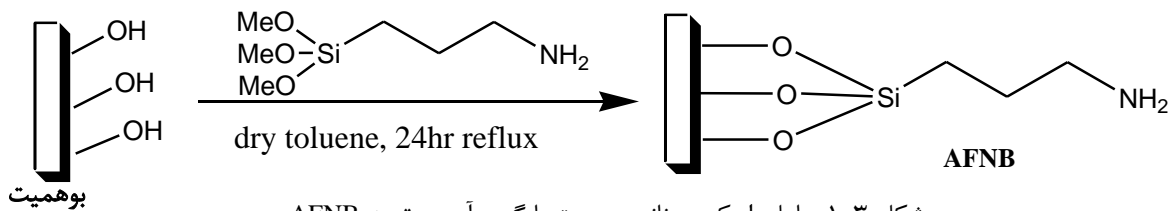


### ۳- بررسی نتایج

بسیاری از کمپلکس‌ها بازده کاتالیزوری بسیار خوبی به شکل همگن در واکنش‌های مختلف در دمای بالا از خود نشان می‌دهند. اما به کارگیری کاتالیزگرهای همگن مشکلاتی را به همراه می‌آورد که برای حل آن‌ها دانشمندان به فکر ساخت کاتالیزگرهای ناهمگن افتادند. پایداری حرارتی بالا و افزایش گزینش‌پذیری کاتالیزگرهای ناهمگن در واکنش‌ها سبب شده است که در مقایسه با کاتالیزگرهای همگن بازدهی بالاتری داشته باشند. با نشاندن کاتالیزگرهای همگن روی نگهدارنده‌های آلی یا معدنی می‌توان آن‌ها را به کاتالیزگرهای ناهمگن تبدیل نمود. بسترهای معدنی پایداری حرارتی بالایی دارند و به‌آسانی تخریب نمی‌شوند. بنابراین اهمیت بیشتری نسبت به بسترهای آلی دارند. در این پژوهش از اکسنده معدنی نانو بوهمیت به عنوان بستر استفاده شد که به علت داشتن مساحت سطح بالا و گروه‌های هیدروکسیل سطحی فراوان، واکنش‌پذیری بسیار خوبی از خود نشان می‌دهد. جهت سنتز کاتالیزگر ناهمگن، لیگاند مناسب بر روی بسته پیوند داده شد، سپس با افزودن کمپلکس‌های مولیبدن، این بستر فلزدار گردیده و به عنوان کاتالیزگر، برای اپوکسایش آلکن‌ها به کار گرفته شد.

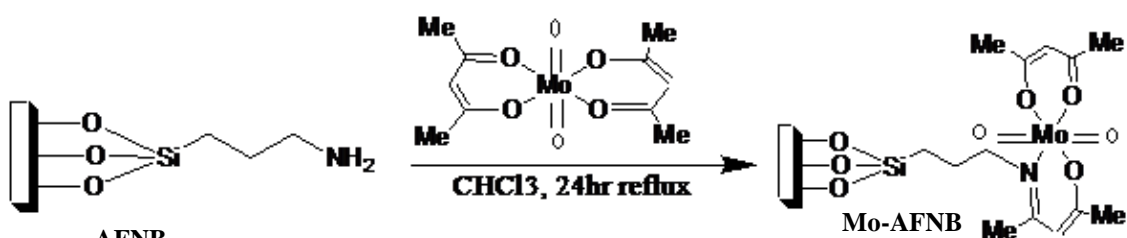
### ۱-۳- تهیه کاتالیزگر ناهمگن

تهیه بستر نانوبوهمیت، پیوند لیگاند آمین‌دار به آن و همچنین افزایش کمپلکس فلز مولیبدن به ترتیب در بخش‌های ۲-۳-۲، ۲-۳-۲ و ۴-۳-۲ توضیح داده شده است. شکل‌های ۳-۱ و ۲-۳ مراحل تهیه کاتالیزگر ناهمگن را نشان می‌دهد. در مرحله نخست، گروه عاملی آمین از واکنش ترکیب ۳- تری متوكسی سایلیل پروپیل آمین با گروه‌های هیدروکسیل سطحی نانوبوهمیت با پیوند کووالنس به بستر متصل شده و نانوبوهمیت عامل‌دار شده با گروه آمین (AFNB) تهیه می‌شود.



شکل ۳-۲: عامل دار کردن نانو بوهمیت با گروه آمین، تهیه AFNB

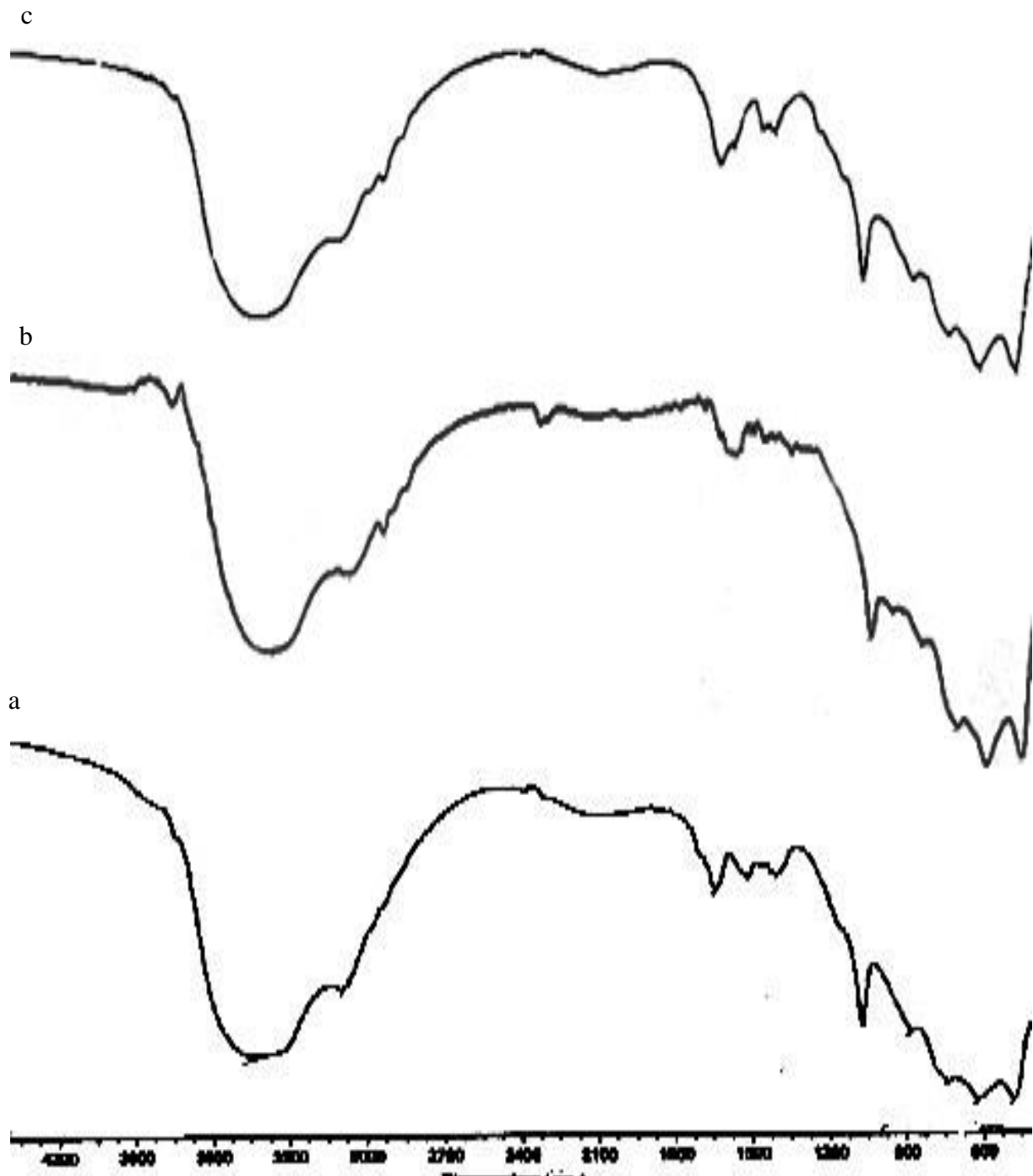
در مرحله پایانی تهیه کاتالیزگر، نانو بوهمیت آمین دار شده با کمپلکس  $\text{MoO}_2(\text{acac})_2$  رفلакс می شود. تا با شکستن یک گروه acac از کره کوئوردیناسیون داخلی کمپلکس، کمپلکس فلزی به بستر پیوند داده شود.



شکل ۳-۳: تهیه لیگاند بر روی بستر نانو بوهمیت و نشاندن فلز بر روی آن و تهیه Mo-AFNB

به جهت تأیید پیوند لیگاند ۳-تری متوكسی سایلیل پروپیل آمین و کمپلکس مولبیدن به بستر نانو بوهمیت تکنیک های FT-IR، آنالیز عنصری CHN، و الگوی پراش XRD به کار گرفته شد. در طیف IR نانو بوهمیت (شکل ۳-۳) یک نوار قوی در  $482\text{ cm}^{-1}$  دیده می شود که مربوط به ارتعاش خمی Al-OH است. همچنین نوار تیزی در  $615\text{ cm}^{-1}$  مربوط به حرکات انتقالی  $O^2-$  است و نوار دیگر  $737\text{ cm}^{-1}$  مربوط به ارتعاش کششی Al-OH است. نوار مشاهده شده در  $1072\text{ cm}^{-1}$  نیز مربوط به ارتعاش خمی  $AlO-H$  می باشد که با مقایسه طیف IR بستر نانو بوهمیت (شکل ۳-۳-a) با طیف هایی که بعداز هر مرحله عامل دار شدن به دست آمده (نمونه های AFNB و Mo-AFNB) به ترتیب در شکل های b و c مشخص می شود که ساختار نانو بوهمیت در تمام مراحل حفظ شده است. در بررسی طیف IR نانو بوهمیت آمین دار (AFNB) نوار جدیدی در ناحیه  $2973\text{ cm}^{-1}$  مشاهده می شود که می تواند مربوط به ارتعاش C-H لیگاند ۳-تری متوكسی سایلیل پروپیل آمین بر روی نانو بوهمیت باشد. ارتعاش کششی گروه N-H لیگاند ۳-تری متوكسی سایلیل پروپیل آمین نیز می بایست در  $3400-3300\text{ cm}^{-1}$  دیده شوند. اما هیچ نواری در نواحی ذکر شده دیده نمی شوند و این

پدیده به جهت ناچیز بودن مقدار لیگاند و همپوشانی نوارها با نوارهای هیدروکسیل نانوبوهیمت می‌باشد. شکل ۳-IR نمونه پس از پیوند مولیبدن روی نانو بوهیمت را نشان می‌دهد. در این طیف علاوه بر نوارهای ذکر شده برای نانوبوهیمت آمین‌دار، می‌بایست دو نوار در محدوده  $900\text{cm}^{-1}$  تا  $950\text{cm}^{-1}$  به سبب ارتعاش گروه Mo=O کمپلکس مولیبدن ظاهر گردد که به سبب کم بودن میزان کمپلکس پیوند شده به بستر قابل مشاهده نمی‌باشد. ارتعاشات کششی C-H آلیفاتیک در  $2973\text{cm}^{-1}$  دیده می‌شود. باقی نوارها با توجه به دلایل ذکر شده برای نانوبوهیمت آمین‌دار دیده نمی‌شوند.



شکل ۳-۳: a طیف FT-IR بوهیمیت، b طیف FT-IR آمین دار شده (AFNB)، c طیف FT-IR کاتالیزگر ناهمگن (Mo-AFNB)

همانطور که مشاهده می‌شود داده‌های بررسی‌های IR با XRD نیز تایید می‌شود، زیرا شدت و پهنهای نوارها در فرآیندهای انجام گرفته جهت عامل‌دار کردن و فلزدار کردن نانو بوهمیت هیچ تغییری نداشته است. این پدیده به سبب ناچیز بودن مقدار کمپلکس‌های نشانده شده بر روی بستر نانوبوهمیت و ملایم بودن شرایط فرآیندهای عامل‌دار و فلزدار کردن آن است. با مقایسه مقادیر  $d$  الگوی XRD کاتالیزگر Mo-AFNB با بوهمیت استاندارد مشخص می‌شود که هیچ ناخالصی فازی در کاتالیزگر دیده نمی‌شود(جدول ۱-۳). با استفاده از رابطه شر (معادله ۱-۳) می‌توان اندازه ذره‌های بستر را در مراحل گوناگون به دست آورد. با مقایسه الگوی پراش پرتو X نانو بوهمیت (شکل ۳-۴) و مولیبدن نشانده شده روی نانوبوهمیت(شکل ۳-۵) نتیجه می‌گیریم که اندازه نانو ذره‌های بوهمیت در تمام مراحل واکنش حفظ شده است. اندازه ذره‌های به دست آمده بر اساس رابطه شر برای بلندترین نوار دیده شده در الگوی پراش نمونه Mo-AFNB ( $\theta=15^\circ$ ، حدود ۶ نانومتر محاسبه شده که نسبت به اندازه ذرات گزارش شده برای نانو بوهمیت تغییر چشم‌گیری نداشته است.

$$D = \frac{K\lambda}{\beta \cos \theta} \quad 1-3$$

در این معادله  $D$  اندازه دانه (نانومتر)،  $K$  ثابت،  $\lambda$  طول موج پرتو ایکس (نانومتر)،  $\beta$  پهنهای نوار در نیمه ارتفاع و  $\theta$  زاویه پراش می‌باشد.

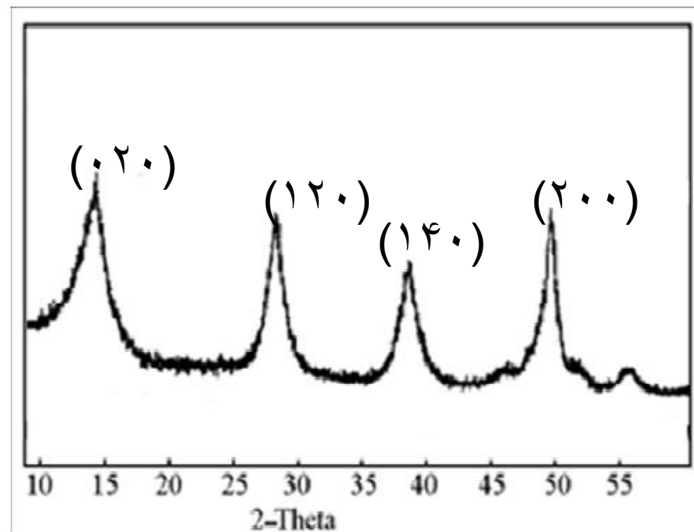
جدول ۱-۳: مقایسه داده‌های XRD نمونه‌های نانو بوهمیت تهیه شده با نمونه استاندارد بوهمیت Mo-AFNB

hkl	JCPDS card 21- 1307(Boehmite)	NB Sample	Mo-AFNB
	D		
0 ۲ ۰	۶/۱۱۰	۶/۱۲۲	۶/۴۹
۱ ۲ ۰	۳/۱۶۴	۳/۱۶۱	۳/۱۸۷
۱ ۴ ۰, ۰ ۳ ۱	۲/۳۴۶	۲/۳۴۱	۲/۳۲۰
۲ ۰ ۰	۱/۸۵۰	۱/۸۵۱	۱/۸۴

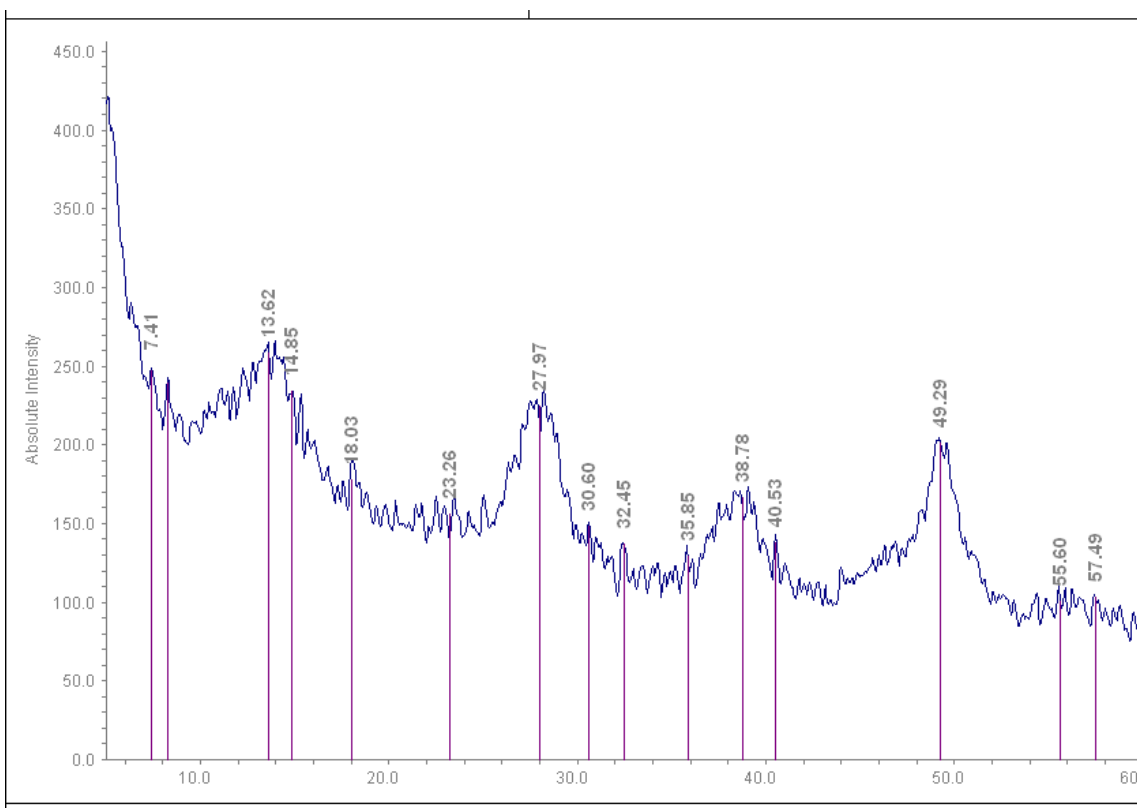
جدول ٢-٣: الگوی XRD نمونه استاندارد

21-1307

					$\gamma\text{-AlOOH}$	★				
d	6.11	3.16	2.35	6.11	Aluminum Oxide Hydroxide	(Boehmite)				
I/I <sub>1</sub>	100	65	55	100						
Rad. CuK <sub>A</sub> , $\lambda = 1.5405$	Filter Ni	Dia.			d Å	I/I <sub>1</sub>	hkl	d Å	I/I <sub>1</sub>	hkl
Cut off	I/I <sub>1</sub>	Diffractometer			6.11	100	020	1.1711	<2	062
Ref. National Bureau of Standards, Circular 539, Vol. 3, 38 (1953)					3.164	65	120	1.1609	4	271
Sys. Orthorhombic		S.G. Amam (63)			2.346	55	140.031	1.1337	6	202
$a_0 = 3.700$	$b_0 = 12.227$	$c_0 = 2.868$	$A$	$C$	1.980	6	131	1.1152	2	222
$a$	$\beta$	$\gamma$	Z 2	Dx 3.070	1.860	30	051	1.0917	<2	331
Ref. Ibid.					1.850	25	200	1.0459	2	082
$\epsilon_a = 1.64-1.65 \text{ n } \omega \beta$		$\epsilon_y$		Sign	1.770	6	220	1.0281	2	351
2V	D	mp		Color	1.662	14	151	0.9903	<2	262
Ref. Ibid.					1.527	6	080	.9818	<2	
This data was originally on 5-0190 with the a and c reversed, and called "a".					1.453	16	231	.9506	2	371
Sample from Aluminum Company of America.					1.434	10	002	.9310	2	033
Spec. Anal.: <0.1% Ca, Mg, Si; <0.01% Fe, Mn, Ni, Ti; <0.001% Cr, Cu.					1.412	2	180	.9247	2	400.322
Pattern at 25°C.					1.396	2	022	.9105	2	282
					1.383	6	171	.9023	2	133
					1.369	2	260	.8937	2	342
					1.312	16	251	.8907	2	053
					1.303	4	122	.8660	<2	153
					1.224	2	320	.8607	2	431
					1.209	2	320	.8316	2	233
					1.178	4	280	.8286	4	451



شكل ٤-٣: الگوی XRD بوهمیت.



شکل ۳-۵: الگوی XRD کاتالیزگر ناهمگن Mo- AFNB

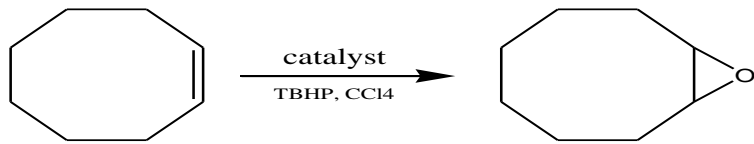
همچنین با آنالیز عنصری قرار گرفتن لیگاند آمین دار روی بستر بررسی شد و درصد نیتروژن نمونه فلزدار شده برابر  $41.12\%$  درصد بدست آمد که نشان می دهد  $0.29\text{ mil}\text{l}$  مول لیگاند آمین دار در یک گرم نمونه فلزدار شده وجود دارد. همچنین مقدار مولیبden کاتالیزگر با استفاده از تکنیک ICP، مقدار  $0.13\text{ mmol/gr}$  به دست آمد [پیوست ۱]. بدین ترتیب این داده ها نشان می دهد که کمپلکس مولیبden بر روی بستر قرار گرفته است. بنابراین می توانیم ساختار شکل ۳-۲ را پیشنهاد دهیم [۲۵].

### ۳-۲-۳- بررسی کارایی کاتالیزوری کاتالیزگر ناهمگن Mo-AFNB در اپوکسایش

#### سیکلو اکتن

کارایی کاتالیزوری Mo-AFNB در واکنش اپوکسایش آلکن ها مورد بررسی قرار گرفت (شکل ۳-۶). از سیکلو اکتن به عنوان الکن پایه استفاده شد و اثر پارامترهای گوناگون (نوع حلال مقدار

حلال، نوع اکسنده، مقدار اکسنده، کاتالیزگر، دما و زمان) بررسی و بهینه شد که در ادامه بحث خواهد شد.



شکل ۳-۶: اپوکسایش سیکلوواکتن با اکسنده ترشیوبوتیل هیدروزن پراکسید با کاتالیزگر ناهمگن Mo-AFNB

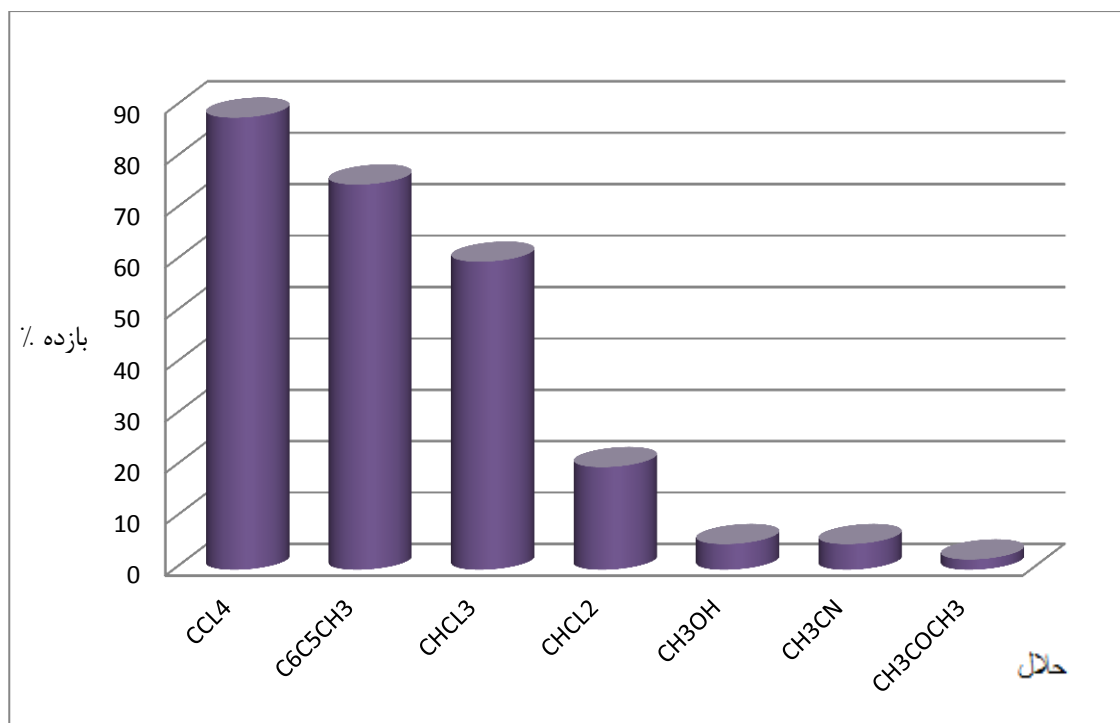
### ۱-۲-۳- بررسی اثر نوع حلال

در بررسی این پارامتر، واکنش اپوکسایش سیکلوواکتن با کاتالیزگر ناهمگن در حلال‌های مختلف همانگونه که در بخش ۱-۴-۲ گفته شد، انجام گرفت. داده‌های این بررسی که در جدول ۳-۳ و شکل ۳-۷ نشان داده شده بیانگر این است که واکنش‌های اپوکسایش سیکلوواکتن در حلال‌های استونیتریل متانول و استون کمترین بازده را دارند. احتمالا دلیل آن اینست که در حلال‌های با قدرت کوئوردیناسیون بالا حلال به فلز مرکزی کوئوردینه شده و با واکنشگر رقابت نموده و مانع اتصال واکنشگر به فلز مرکزی می‌شود، در نتیجه پیشرفت واکنش کند یا متوقف می‌شود. به علاوه میزان حلالیت سیکلوواکتن در این حلال‌ها و یا تخریب کاتالیست در آن‌ها نیز ممکن است تاثیر گذار باشد. از این‌رو بیشترین بازده مربوط به تتراکلریدکربن است که حلالی غیرقطبی است چون توانایی کوئوردینه شدن به فلز مرکزی را ندارد [۲۶].

جدول ۳-۳ بررسی اثر نوع حلال در اپوکسایش ۰/۵ میلی مول سیکلواتن در ۵/۰ میلی لیتر حلال با ۱/۱۲ میلی مول

اکسنده TBHP در دمای جوش حلال به مدت ۳۰۰ دقیقه با ۲۰ میلی گرم کاتالیزگر ناهمگن Mo-AFNB

حلال	بازدہ واکنش(%)
تتراکلرید کربن	۸۸
تولوئن	۷۵
کلروفرم	۶۰
دی کلرومتان	۲۰
متانول	۵
استونیتریل	۵
استون	۲



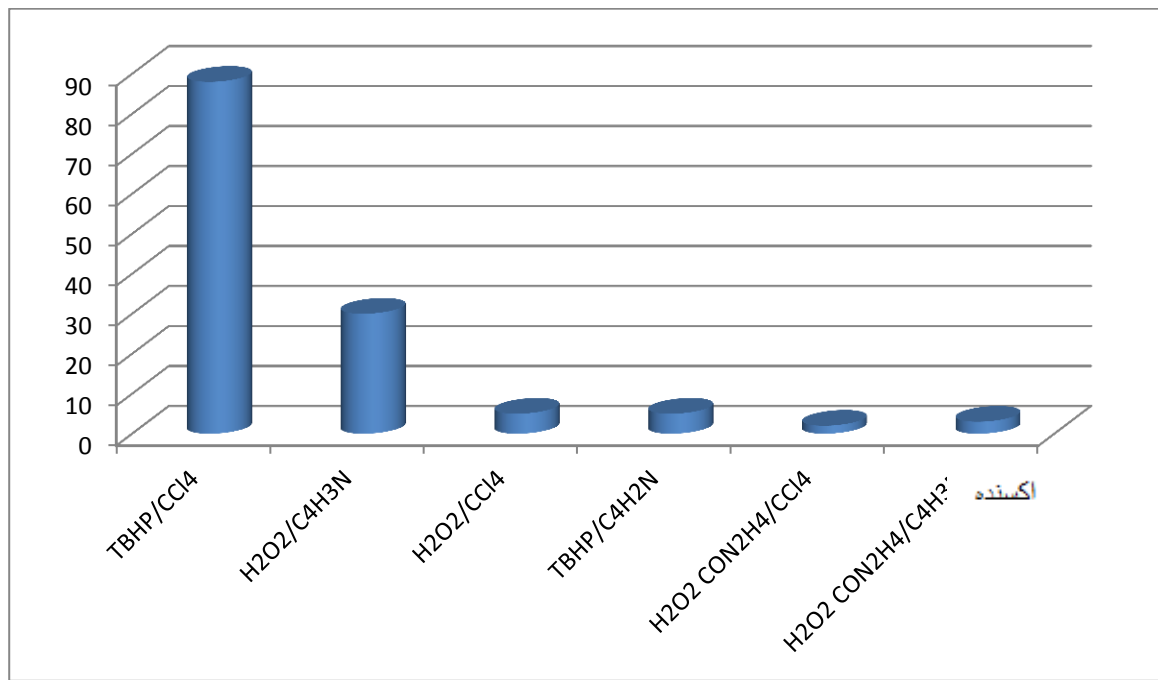
شکل ۳-۷: بررسی اثر نوع حلال در اپوکسایش ۰/۵ میلی مول سیکلواتن در ۵/۰ میلی متر حلال با ۱/۱۲ میلی مول اکسنده TBHP در دمای جوش حلال به مدت ۳۰۰ دقیقه با ۲۰ میلی گرم کاتالیزگر ناهمگن Mo-AFNB

## ۲-۲-۳- بررسی اثر نوع اکسنده

بر پایه روش گفته شده در بخش ۲-۴-۲ اثر نوع اکسنده با کاتالیزگر ناهمگن در واکنش اپوکسایش بررسی شد که داده‌های آن در جدول ۴-۳ و شکل ۳-۸ نشان می‌دهد که ترشیوبوتیل هیدروژن پراکسید به همراه تتراکلریدکربن بازده بیشتری نسبت به اوره هیدروژن پراکسید و آب اکسیژنه دارد چون ترشیوبوتیل هیدروژن پراکسید در حللاهای غیرقطبی بهتر حل می‌شود و در نتیجه بهتر واکنش می‌دهد اما آب اکسیژنه با حللاهای قطبی بهتر واکنش می‌دهد. بنابراین اکسنده ترشیوبوتیل هیدروژن پراکسید به عنوان اکسنده برتر برای ادامه بررسی‌ها انتخاب شد.

جدول ۴-۳: بررسی اثر نوع اکسنده در اپوکسایش ۰/۵ میلی‌مول سیکلواکتن در ۵/۰ میلی‌لیتر حللا با ۱/۱۲ میلی‌مول اکسنده در دمای ۸۰°C به مدت ۳۰۰ دقیقه با ۲۰ میلی‌گرم کاتالیزگر ناهمگن Mo-AFNB

حللا	اکسنده	بازده واکنش(%)
تتراکلرید کربن	t-BuOOH	۸۸
استونیتریل	t-BuOOH	۵
تتراکلرید کربن	H <sub>2</sub> O <sub>2</sub>	۵
استونیتریل	H <sub>2</sub> O <sub>2</sub>	۳۰
تتراکلرید کربن	H <sub>2</sub> O <sub>2</sub> -CON <sub>2</sub> H <sub>4</sub>	۲
استونیتریل	H <sub>2</sub> O <sub>2</sub> -CON <sub>2</sub> H <sub>4</sub>	۳



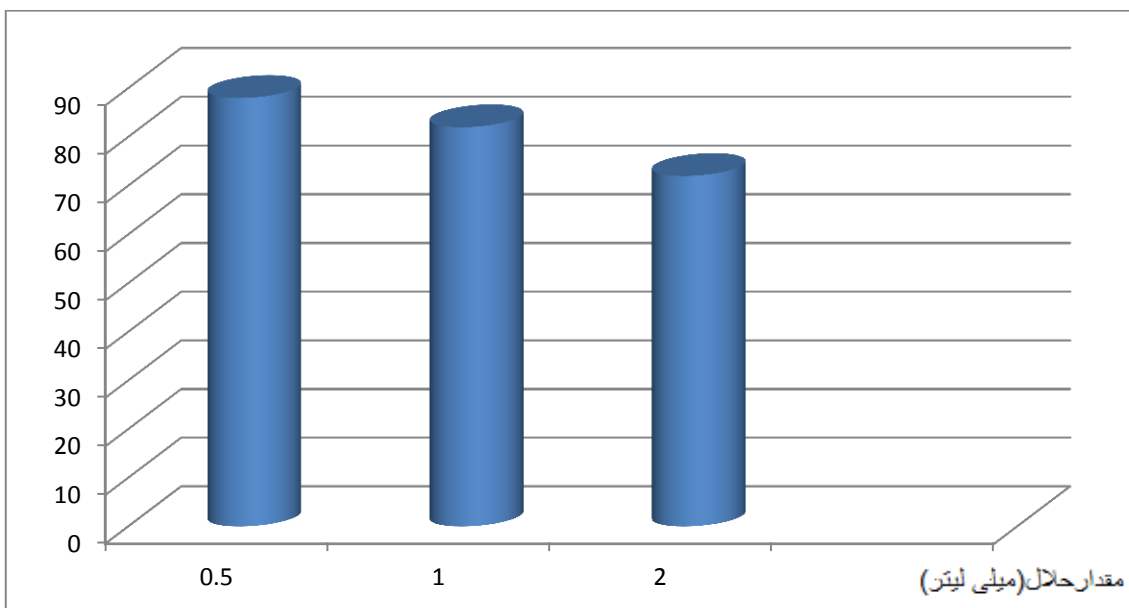
شکل ۳-۸: بررسی اثر نوع اکسینده در اپوکسایش ۰/۵ میلی‌مول سیکلواکتن در ۰/۵ میلی‌لیتر حلal با ۱/۱۲ میلی‌مول اکسینده در دمای ۸۰°C به مدت ۳۰۰ دقیقه با ۲۰ میلی‌گرم کاتالیزگر ناهمگن Mo-AFNB

### ۳-۲-۳- بررسی اثر مقدار حلal

بر پایه روش‌های گفته شده در بخش ۴-۳ و اکنش اپوکسایش سیکلواکتن با مقادیر گوناگون از حلal تتراکلرید کربن انجام شد. داده‌های جدول ۳-۵ و شکل ۳-۹ نشان می‌دهد که هر چقدر مقدار حلal کمتر باشد بازده واکنش بیشتر می‌شود. چون با کاهش مقدار حلal محلول واکنش غلیظتر شده و تعداد برخوردهای مؤثر بیشتر شده و باعث افزایش سرعت واکنش می‌شود. بر اساس داده‌های بدست آمده در این مرحله مقدار ۰/۵ میلی‌لیتر حلal به عنوان بهترین مقدار انتخاب شد.

جدول ۳-۵: بررسی اثر مقدار حلال تراکلریدکربن در اپوکسایش ۰/۵ میلیمول سیکلو اکتن با ۱/۱۲ میلیمول اکسنده Mo-AFNB در دمای ۸۰°C به مدت ۳۰۰ دقیقه با ۲۰ میلیگرم کاتالیزگر ناهمگن TBHP

مقدار حلال(ml)	بازده واکنش(%)
۰/۵	۸۸
۱	۸۲
۲	۷۲



شکل ۳-۹: بررسی اثر مقدار حلال تراکلریدکربن در اپوکسایش ۰/۵ میلیمول سیکلو اکتن با ۱/۱۲ میلیمول اکسنده Mo-AFNB در دمای ۸۰°C به مدت ۳۰۰ دقیقه در ۲۰ میلیگرم کاتالیزگر ناهمگن TBHP

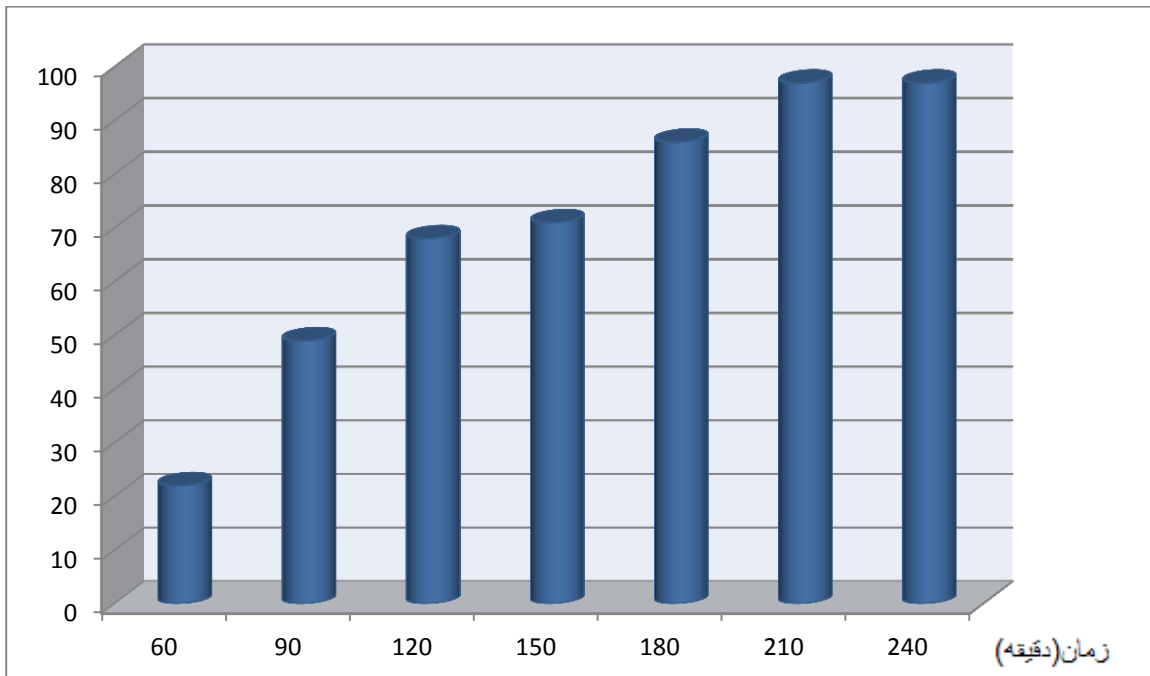
#### ۳-۲-۴-۴- بررسی اثر زمان

این پارامتر نیز با واکنش اپوکسایش سیکلو اکتن با کاتالیزگر ناهمگن در مدت زمان‌های مختلف بر پایه‌ی روش گفته شده در بخش ۴-۴-۲ بررسی شد. داده‌های جدول ۳-۶ و شکل ۳-۱۰ نشان می‌دهد مطابق انتظار با افزایش زمان، بازده نیز بیشتر و پس از رسیدن به یک حدی با افزایش زمان بازده واکنش ثابت می‌ماند تا اینکه پس از ۲۱۰ دقیقه به بیشترین مقدار خود رسیده و ثابت می‌ماند. بنابراین زمان ۲۱۰ دقیقه به عنوان بهترین زمان برای ادامه کار انتخاب شد.

جدول ۳-۶: بررسی اثر زمان در اپوکسایش ۵/۰ میلیمول سیکلواکتن با ۱/۱۲ میلیمول اکسنده TBHP در ۵/۰

میلیلیتر حلal تتراکلریدکربن با ۲۰ میلیگرم کاتالیزگر ناهمگن Mo-AFN

زمان(min)	بازده(%)
۶۰	۲۲
۹۰	۴۹
۱۲۰	۶۸
۱۵۰	۷۱
۱۸۰	۸۶
۲۱۰	۹۷
۲۴۰	۹۷



شکل ۳-۱۰: بررسی اثر زمان در اپوکسایش ۵/۰ میلیمول سیکلواکتن با ۱/۱۲ میلیمول اکسنده TBHP در ۵/۰

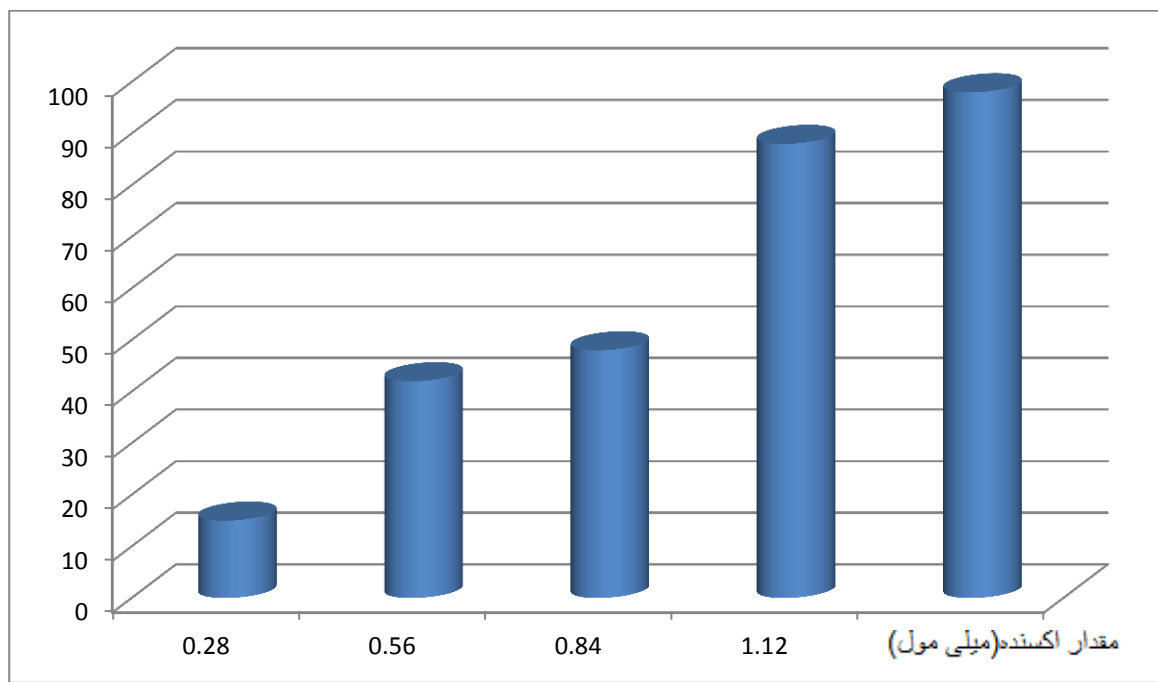
میلیلیتر حلal تتراکلریدکربن با ۲۰ میلیگرم کاتالیزگر ناهمگن Mo-AFN

### ۳-۲-۵- بررسی اثر مقدار اکسنده

به منظور بررسی این پارامتر، واکنش‌هایی بر پایه‌ی روش گفته شده در بخش ۲-۴-۵ انجام شد و داده‌های آن در جدول ۳-۱۱ و شکل ۳-۷ نشان داده شده است. بررسی‌ها نشان می‌دهد با افزایش مقدار اکسنده بازده واکنش افزایش پیدا می‌کند و بیشترین بازده در مقدار ۱/۴ میلی مول اکسنده ترشیوبوتیل هیدروژن پراکسید مشاهده شده و ثابت می‌شود. بنابراین مقدار ۱/۴ میلی مول ترشیوبوتیل هیدروژن پراکسید به عنوان مقدار بهینه برای ادامه کار انتخاب شد.

جدول ۳-۷: بررسی مقدار اکسنده در اپوکسایش ۵/۰ میلی مول سیکلواکتن در ۵/۰ میلی لیتر حلال تتراکلریدکربن با اکسنده TBHP با ۲۰ میلی گرم کاتالیزگر ناهمگن Mo-AFNB.

مقدار اکسنده (میلی مول)	بازده (%)
۰/۲۸	۱۵
۰/۵۶	۴۲
۰/۸۴	۴۸
۱/۱۲	۸۸
۱/۴	۹۷



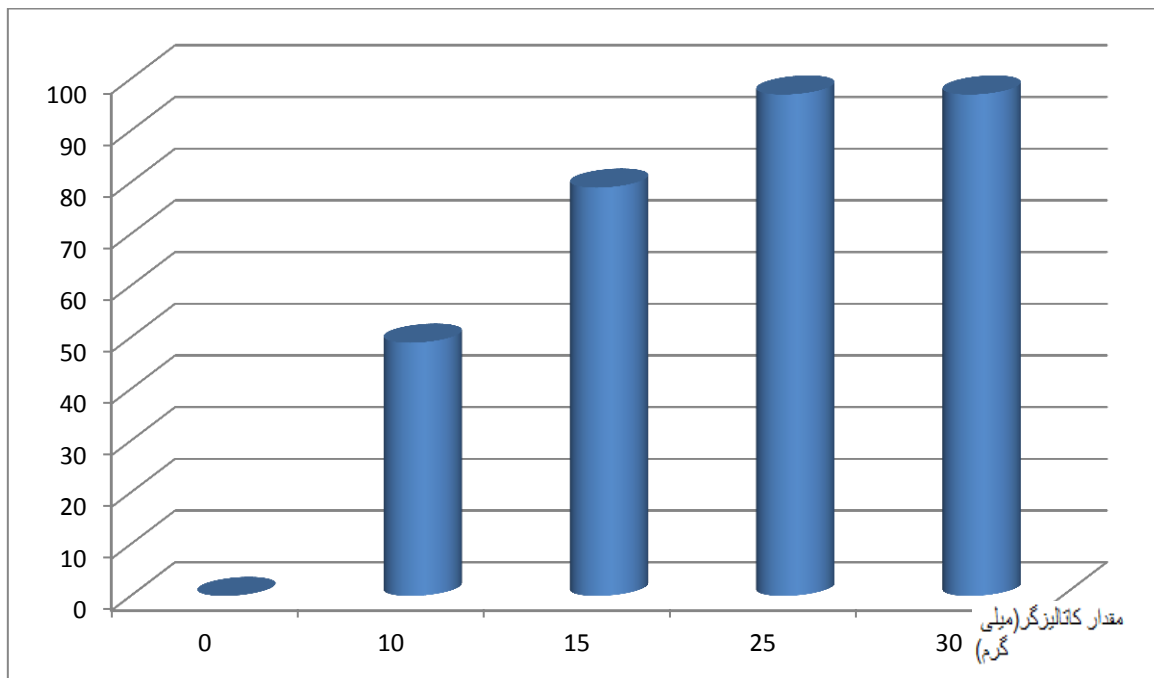
شکل ۱۱-۳: بررسی اثر مقدار اکسنده در اپوکسایش ۰/۵ میلی مول سیکلوواکتن در ۵/۰ میلی لیتر حلal تتراکلرید کربن با اکسنده TBHP با ۲۰ میلی گرم کاتالیزگر ناهمگن Mo-AFNB

### ۶-۲-۳-۳- بررسی اثر مقدار کاتالیزگر

جهت بررسی این پارامتر، واکنش اپوکسایش سیکلوواکتن در حلal تتراکلرید کربن و مقدارهای مختلفی از کاتالیزگر و بر پایه‌ی روش گفته شده در بخش ۴-۲-۶ انجام شد. داده‌های جدول ۸-۳ و شکل ۱۲-۳ نشان می‌دهد که با افزایش مقدار کاتالیزگر، فعالیت کاتالیزوری ابتدا افزایش یافته و در ادامه ثابت می‌ماند. در اینجا نقش یون فلزی در کاتالیزور، فعال کردن اتم اکسیژن در ترشیو بوتیل هیدروژن پراکسید برای انتقال به آلکن می‌باشد. واکنش اپوکسایش بدون حضور یون فلزی انجام نمی‌شود، بنابراین وجود فلز باعث کوئوردینه شدن با پراکسید شده و خاصیت الکتروفیلی اکسیژن را زیاد می‌کند [۲۷]. با توجه به داده‌های بدست آمده، مقدار ۲۵ میلی گرم به عنوان مقدار بهینه برای ادامه کار انتخاب شد.

جدول ۳-۸: بررسی اثر مقدار کاتالیزگر ناهمگن Mo-AFNB در اپوکسایش ۵٪ میلی‌مول سیکلواکتن در ۵٪ میلی‌لیتر حلal تتراکلریدکربن با ۱/۴ میلی‌مول اکسنده TBHP به مدت ۲۱۰ دقیقه در دمای ۸۰°C.

مقدار کاتالیزگر(mg)	بازده(٪)
۰	۰
۱۰	۴۹
۱۵	۷۹
۲۵	۹۷
۳۰	۹۷



شکل ۳-۱۲: بررسی اثر مقدار کاتالیزگر ناهمگن Mo-AFNB در اپوکسایش ۵٪ میلی‌مول سیکلواکتن در ۵٪ میلی‌لیتر حلal تتراکلریدکربن با ۱/۴ میلی‌مول اکسنده TBHP به مدت ۲۱۰ دقیقه در دمای ۸۰°C.

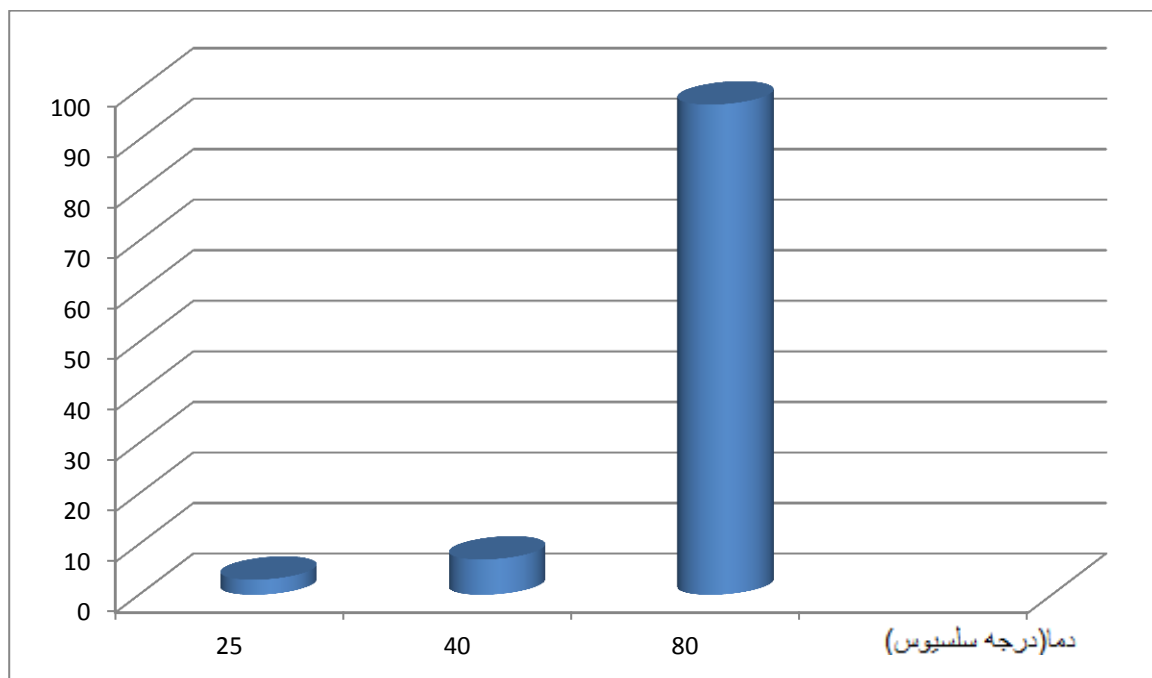
### ۷-۲-۳- بررسی اثر دما

این پارامتر نیز در واکنش اپوکسایش سیکلواکتن در زمان‌های گوناگون و بر پایه‌ی روش گفته شده در بخش ۷-۴-۲ بررسی شد. داده‌های به دست آمده در جدول ۳-۹ و شکل ۳-۱۳ نشان داده شده است. داده‌های بدست آمده نشان می‌دهد هر چه دما بیشتر باشد بازده واکنش هم بیشتر می‌شود

به طوری که در دمای جوش حلال بیشترین بازده مشاهده شد. بنابراین دمای جوش حلال به عنوان دمای بهینه انتخاب شد.

جدول ۹-۳: بررسی اثر دما در اپوکسایش ۰/۵ میلی مول سیکلواکتن با ۱/۴ میلی مول اکسنده TBHP در ۰/۵ میلی لیتر حلal تتراکلریدکربن با ۲۵ میلی گرم کاتالیزگر ناهمگن Mo-AFNB به مدت ۲۱۰ دقیقه.

دما(درجه سلسیوس)	بازده(%)
۲۵	۳
۴۰	۱۵
دمای جوش	۹۷



شکل ۱۳-۳: بررسی اثر دما در اپوکسایش ۰/۵ میلی مول سیکلواکتن با ۱/۴ میلی مول اکسنده TBHP در ۰/۵ میلی لیتر حلal تتراکلریدکربن با ۲۵ میلی گرم کاتالیزگر ناهمگن Mo-AFNB به مدت ۲۱۰ دقیقه.

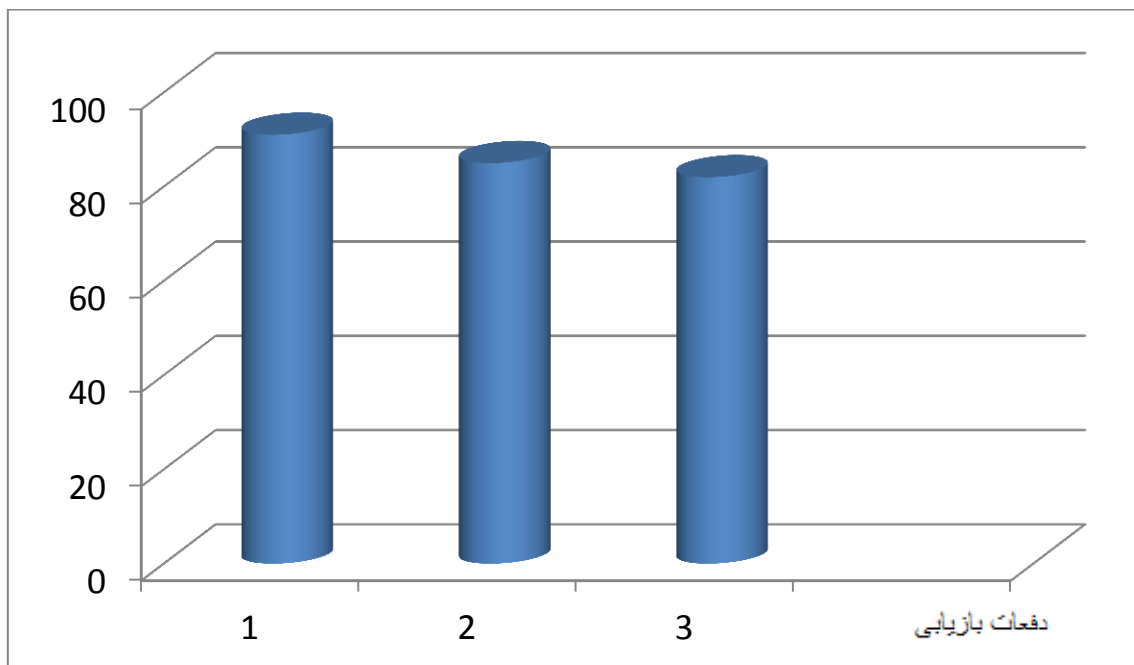
### ۸-۲-۳- بررسی بازیابی کاتالیزگر ناهمگن در اپوکسایش سیکلواکتن

این پارامتر نیز در واکنش اپوکسایش سیکلواکتن بر پایه‌ی روش گفته شده در بخش ۸-۴-۲ بررسی شد. داده‌ها در جدول ۱۰-۳ و شکل ۱۴-۳ آورده شده است. با بررسی داده‌ها، مشاهده می‌شود که این

کاتالیزگر پس از ۳ بار استفاده پی در پی همچنان کارایی کاتالیزوری خود را بهمان شکل اول حفظ کرده است که این بیانگر پایداری بالای این کاتالیزگر است.

جدول ۱۰-۳: بررسی بازیابی کاتالیزگر ناهمگن Mo-AFNB در اپوکسایش ۵/۰ میلیمول سیکلواکتن با ۱/۴ میلیمول اکسنده TBHP در ۵/۰ میلیلیتر حلal تراکلریدکربن با ۲۵ میلیگرم کاتالیزگر به مدت ۲۱۰ دقیقه در دمای ۸۰ °C

مرتبه بازیابی	بازده (%)
اول	۹۱
دوم	۸۵
سوم	۸۲



شکل ۱۴-۳: بررسی بازیابی کاتالیزگر ناهمگن Mo-AFNB در اپوکسایش ۵/۰ میلیمول سیکلواکتن با ۱/۴ میلیمول اکسنده TBHP در ۵/۰ میلیلیتر حلal تراکلریدکربن با ۲۵ میلیگرم کاتالیزگر ناهمگن به مدت ۲۱۰ دقیقه در دمای ۸۰ °C

### ۹-۲-۳- جمعبندی شرایط بهینه در سیستم کاتالیزوری ناهمگن

همان طور که در جدول ۱۱-۳ آورده شده است در شرایط بهینه، برای اپوکسایش ۰/۵ میلیمول سیکلواکتن، به ۲۵ میلیگرم کاتالیزگر ناهمگن Mo-AFNB، ۰/۵ میلیلیتر حلal تتراکلریدکربن، ۱/۴ میلیمول ترشیو بوتیل هیدروژن پراکسید به عنوان اکسنده در زمان ۲۱۰ دقیقه و در دمای ۸۰ °C نیاز بوده است. در بهینه سازی پارامترهای زمان، مقدار اکسنده، مقدار کاتالیزگر، مقدار حلal تاثیر بیشتری داشتند.

جدول ۱۱-۳: شرایط بهینه برای اپوکسایش سیکلواکتن

حلال	تتراکلریدکربن
مقدار حلال	۰/۵ میلیلیتر
اکسنده	t-BuOOH
مقدار اکسنده	۱/۴ میلیمول
مقدار کاتالیزگر	۲۵ میلیگرم
زمان	۲۱۰ دقیقه
دما	۸۰ °C

### ۱۰-۲-۳- بررسی اپوکسایش آلکن‌های دیگر

در این فرایند آلکن‌های مختلف برای واکنش اپوکسایش، بر پایه‌ی روش گفته شده در بخش ۲-۴-۲ به کار گرفته شد. داده‌های آن در جدول ۱۲-۳ آمده است. همه‌ی واکنش‌ها با ۰/۵ میلیمول آلکن، ۲۵ میلیگرم کاتالیزگر ناهمگن، ۱/۴ میلیمول اکسنده ترشیو بوتیل هیدروژن پراکسید و ۰/۵ میلیلیتر حلal تتراکلریدکربن انجام شد. آلکن‌های انتهایی در مدت زمان طولانی‌تر واکنش انجام می‌دهند که این افزایش زمان را می‌توان به ویژگی الکترون دوستی آلکن نسبت داد. هر چه آلکن الکترون دهنده‌تر باشد در واکنش اپوکسایش راحت‌تر شرکت می‌کند. چون آلکن‌های انتهایی ویژگی‌های

الکتروندهندگی پایینتری دارند پس در زمان طولانی‌تری واکنش اپوکسایش را انجام می‌دهند

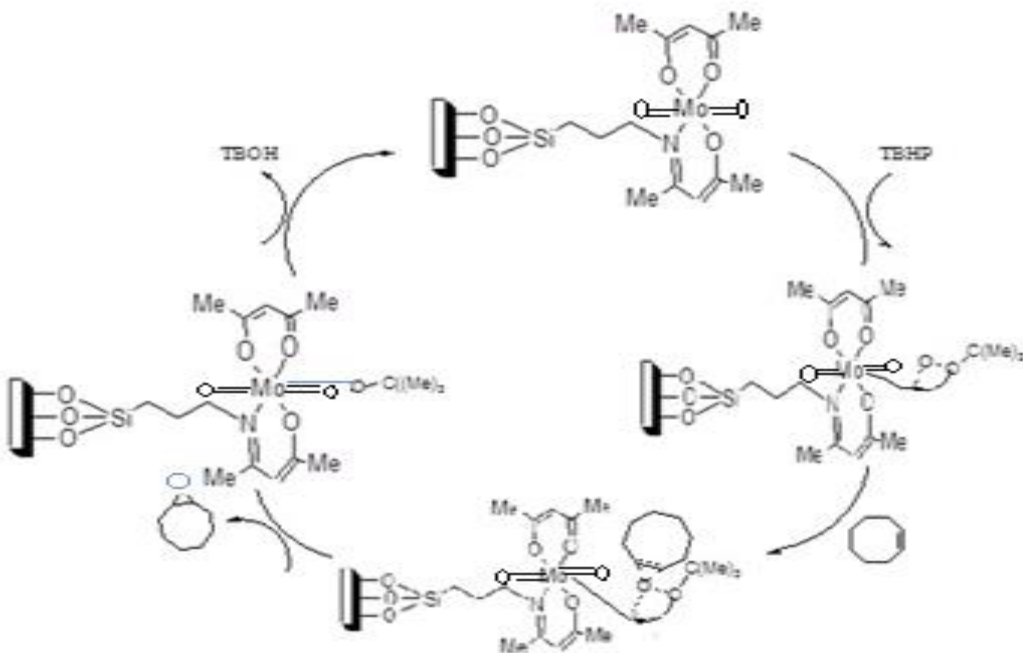
.[۲۸-۳۰]

جدول ۱۲-۳: داده‌های حاصل از اپوکسایش آلکن‌های گوناگون با ۲۵ میلی‌گرم کاتالیزگر ناهمنگن Mo-AFN<sub>B</sub> ۰/۵ میلی‌مول آلکن، ۱/۴ میلی‌مول ترشیو بوتیل هیدروژن پراکسید و ۰/۵ میلی‌لیتر حلal تتراکلرید کربن در زمان‌های مختلف و دردمای جوش حلal.

آلکن	ساختار	زمان(دقیقه)	بازده(%)
α-پاینن		۲۴۰	۸۷
α-متیل استایرن		۲۲۰	۷۸
استایرن		۳۶۰	۷۶
سیکلوهگزن		۲۱۰	۶۵
۱-اکتن		۳۶۰	۵۸
سیکلواکتن		۲۱۰	۹۷

### **۱۱-۲-۳- مکانیسم احتمالی انتقال اکسیژن در سیستم‌های کاتالیزوری دارای مولبیدن**

مطالعه مکانیسم انتقال اکسیژن در سیستم‌های کاتالیزوری، نیاز به بررسی‌های پیچیده دارد که در بیشتر موارد امکانات لازم فراهم نیست، بنابراین برای این سیستم نیز مکانیسم واکنش بررسی نشده است. وروبل و همکارانش سیستم کاتالیزوری مشابهی را به صورت همگن مطالعه کرده‌اند که مکانیسم پیشنهاد شده برای آن را می‌توان به سیستم کاتالیزوری ناهمگن این پژوهش نیز نسبت داد. در (شکل ۳-۱۵)، ابتدا اکسنده ترشیو بوتیل هیدروژن پراکسید به فلز کوئوردینه می‌شود. مرحله بعد از کوئوردینه شدن اکسنده با کوئوردینه شدن آلان همراه است. در ادامه، با شکسته شدن پیوند دوگانه در آلان و جدا شدن ترشیو بوتانول، فرآورده‌ی اپوکسید تولید و کاتالیزگر به همان شکل نخستین بازیابی می‌شود. در این فرایند اگر حلال قدرت کوئوردیناسیون بالایی داشته باشد، مانع از کوئوردینه شدن اکسنده شده و فرایند از پیشرفت باز خواهد ماند. از آنجا که در این سیستم کاتالیزوری هم داده‌های مشابهی با حللاهای با قدرت کوئوردینه کنندگی بالا همچون متانول به دست آمد، به نظر می‌رسد مکانیسم احتمالی انتقال اکسیژن در سیستم کاتالیزوری این پژوهش نیز مکانیسم پیشنهادی وروبل و همکارانش باشد.



شکل ۳-۱۵: مکانیسم پیشنهادی برای اپوکسایش سیکلواکتن با کمپلکس مولیبدن [۱۸].

### ۳-۳- نتیجه گیری

کاتالیزگر ناهمگن سنتز شده در این تحقیق با کاتالیزگرهای مشابه که در زمینه اپوکسایش آلکن‌ها کاربرد دارند مقایسه شد که نتایج آن در جدول ۳-۳ آورده شده است. همان طور که مشاهده می‌شود، کاتالیزگر ردیف اول واکنش اپوکسایش سیکلواکتن را با استفاده از  $0.017$  میلی‌مول کاتالیزگر در  $4$  میلی‌لیتر حلول تتراکلرید کربن به انجام رسانده است [۲۱]. در حالی که در این پژوهش تنها از  $0.003$  میلی‌مول کاتالیزگر و  $0.005$  میلی‌لیتر حلول تتراکلرید کربن در واکنش اپوکسایش استفاده شد. در ریف دوم که ویژگی کاتالیزوری فلز مولیبден نشانده شده روی بستر اعمال بررسی شده با اینکه بازده واکنش بالا است، اما میزان اکسیده به آلکن استفاده شده و زمان انجام واکنش بالاست [۲۰]. مثال بعدی مربوط به کاتالیزگر باز شیف وانادیوم است. این کاتالیزگر واکنش اپوکسایش را در زمان  $8$  ساعت و نسبت مولی اکسیده به واکنشگر  $1:3$  انجام داده است [۳۱]. در حالی که کاتالیزگر مورد استفاده این کار را در زمان  $210$  دقیقه و نسبت مولی  $1:2$  انجام داد. مثال

آخر مربوط به کاتالیزگر ناهمگن مولیبدن نشانده شده بر روی بستر خاک مونت موریلوبنیت است که واکنش اپوکسایش را  $17/0$  میلیمول کاتالیزگر انجام داده است [۲۲]، ولی کاتالیزگر مولیبден تهیه شده در این پژوهش این واکنش را با  $0/003$  میلیمول کاتالیزگر به انجام رسانده است.

جدول ۱۳-۳: مقایسه سیستم کاتالیزوری Mo-AFNB با سیستم‌های کاتالیزوری مشابه

شرایط بهینه					کاتالیزگر			
ردیف	بستر	لیگاند	کمپلکس	زمان	مقدار کاتالیزگر	مقدار حلل	نسبت مولی اکسنده به آلان	بازده (درصد)
۱	نانولوله کربنی	۴-آمینو پیریدین	Mo(CO) <sub>6</sub>	-	۰/۰۱۷ میلی مول	۴ میلی لیتر	۱:۲	۱۰۰
۲	MCM-41	۳-تری متوكسي سيليل پروپيل آمين	MoO <sub>2</sub> (acac) <sub>2</sub>	۹ ساعت	-	-	۲:۳	۹۴
۳	MCM-41	-۳ کلروپروپيل تری متوكسي سيلان	باز شیف VO	۸ ساعت	-	-	۱:۳	۴۶
۴	خاک مونت موریلوبنیت	-	MoO <sub>2</sub> (acac) <sub>2</sub>	۴ ساعت	۰/۰۱۷ میلی مول	-	۱:۴	۹۸
۵	نانوبوهیمت	۳-تری متوكسي سایلیل پروپيل آمين	MoO <sub>2</sub> (acac) <sub>2</sub>	۲۱۰ دقیقه	۰/۰۰۳ میلی مول	۰/۱۵ میلی لیتر	۱:۲	۹۷

---

#### ۴-۳- آینده نگری

اپوکسیداسیون اولفین‌ها نقش مهمی در تولید صنعتی ترکیبات گوناگون به ویژه در صنعت پتروشیمی دارند بنابراین اپوکسایش اولفین‌های با کاربرد بیشتر در صنعت همچون اتیلن، پلی بوتادی ان بوسیله این کاتالیزگر می‌تواند بررسی شود و همچنین برای اپوکسایش سولفیدها می‌تواند مورد استفاده قرار بگیرد. به علاوه می‌توان بستر نانو بوهمیت را در دماهای ۱۵۰، ۲۰۰ یا ۵۰ و به خصوص در دمای پایین‌تر سنتز کرده و اثر آن را بر فرایند کاتالیزوری بررسی نمود. افزون بر آن، کارایی کاتالیزگر تهیه شده را می‌توان در دیگر فرایندهای کاتالیزوری مانند اکسایش الكل‌ها نیز بررسی نمود. در پایان می‌توان با به کارگیری فلزهای دیگر مثل رنیم، تیتانیوم و منگنز کاتالیزگرهای جدید سنتز کرد و در واکنش‌های اپوکسایش به کار برد.

---

## پیوست ۱

بخش ۳-۱ محاسبه مقدار نیتروژن Mo-AFNB (CHN)

$$\frac{100}{1\text{gr}} = \frac{0.4112}{x} \Rightarrow x = 0.29 \text{ mmol}$$

بخش ۳-۱ محاسبه مقدار فلز Mo-AFNB (ICP)

$$\frac{25/1 \text{ ppm} \times 0.05}{0.1\text{gr} \times 95/94} = 0.13 \text{ mmol/gr}$$

---

---

## منابع:

- [1] Miguel Y. R., Brule E., Marque. R. G. J. Chem. Soc., Perkin Trans. 2001, 3085.
- [2] Bailey D. C., Langer S. H. Chem. Rev. 1981, 81, 109.
- [3] Leadbeater N. E., Marco M. Chem. Rev. 2002, 102, 3217.
- [4] McNamara C. A., Dixon M. J., Bradly M. Chem. Rev. 2002, 102, 3217.
- [5] Dickerson T. J., Resad N. N., Janda K. D. Chem. Rev. 2002, 102, 3325.
- [6] Delmon B., J. Thermal Anal. Calor 2007, 90, 49.
- [7] Obald A. G., Goyal k., “Encyclo pedia of chemical processing” John-Wiley, New York, 1985.
- [8] Panster P., Wieland S., Cornils B., Herrmann W. A. Eds Wiley-VCH, Weinheim. 2002, 2.
- [9] Song C. E., Lee S.G. Chem. Rev. 2002, 102, 3495.
- [۱۰] پایان نامه کارشناسی ارشد آملی آدنیس به راهنمایی دکتر بهرامیان بهرام و دکتر میرزایی مهدی، دانشگاه صنعتی شاهرود (۱۳۹۱).
- [11] Amini M. M., Mirzaee M. J. Sol-gel & Tech. 2005, 36, 19.
- [12] Rondinini S., Ardizzone S. Cappelletti A. Vertova. “Material sol-gel synthesis” Encyclopedia of Electrochemical Power Sources, Italy. 2009, 613.
- [13] Brinker C. J., Scherer G.W., Sol-Gel Science: “The Pysics and Chemistry of Sol-Gel Processing” Academic Press. ISBN 0-12-134970-5.
- [14] Brinker C. J., J. Non-Crystalline Solids. 1982, 48, 47.
- [15] Cotton F. A., Wilkinnson G., Advanced Inorganic Chemistry, Wiley, 1962, 76.
- [16] Behringer K. D., Blumbel J. Inorg. Chem 1996, 35, 1814.
- [17] Rayati S., Torabi N., Ghaemi A., Mohebbi S., Wojtczak A., Kozakiewicz A. Inorg.Chim Acta. 2008, 361, 1239.

- 
- [18] Comils B., Herrmann W.A. Wiley VCH verlag GMBH, New York. 2002.
- [19] Masteri- Farahani M., Farzaneh F., Ghandi M. *J. Catal* 2007, 8, 6.
- [20] Tangestaninejad S., Moghadam M. *Catal. Commun* 2009, 70, 853.
- [21] Esnaashari F., Moghadam M., Mirkhani V., Tangestaninejad S., Mohamadpoor I., Khosropour A., Zakeri M. *J. homepage*. 2012, 137, 69.
- [22] Farais M., Martinelli M. *Appli. Catal.* 2011, 403, 119.
- [23] Sharma R. K., Pandey A., Gulati S. *J. homepage*. *Polyhedron* 2012, 45, 86.
- [24] Palitzsch W., Beyer C., Bohme U., Rittmeister B., Roewer G. *Eur. J. Inorg. Chem.* 1999, 1813.
- [25] Clara Pereira., Krzysztof Biernacki., Susana L.H. Rebelo., Alexandre L. Magalhães., Ana Paula Carvalho., João Pires., Cristina Freire., *J. Mol. Catal. A: Chem* 2009, 312, 53.
- [26] Golmohammadpur A. *MSC. Thesis*, Shahrood University of Technology 2011.
- [27] Sheldon R. A., Kochi J. K., " Metal-Catalyzed Oxidations of organic Compounds" Academic Press, New York. 1981.
- [28] Gupta K. C., Kumar A., Chu-Chie Li. *Coord. Chem. Rev* 2009, 253, 1926.
- [29] Grivani G., Tangestaninejad S., *Inorg. Chem. Commun* 2007, 10, 914.
- [30] Tangestaninejad S., Mirkhani V., Moghadam M., Ghrivani G., *Catal. Commun* 2007, 8, 839.
- [31] K. M. Parida., S. Singha., P. C. Sahoo., *J. Mol. Catal. A: Chem*. 2010, 40, 325.

## Abstract

The increasing environmental concern and promotion of "green processes" are forcing the substitution of traditional homogeneous catalysts by solid ones. Among the heterogeneous catalysts, nano-boehmite is a real "green" catalyst, due to their benign nature from an environmental point of view. In this research, nano-boehmite with high surface area ( $326\text{m}^2/\text{g}$ ) and high degree of surface hydroxyl group was prepared via hydrothermal assisted sol-gel processing of a 2M solution of aluminum 2-butoxide in 2-butanol at  $100^\circ\text{C}$  for 5 hour (NB). The produced powder was filtered off, covalently functionalized with 3-(tri-methoxysilyl) propyl amine (AFNB) and then a complex of molybdenum supported on it (Mo-AFNB). XRD patterns confirmed the retention of the nano-boehmite structure after functionalizing and metal supporting procedures. These supported catalysts were used in epoxidation of cis-cyclooctene and yields of products were investigated by GC. The catalytic procedures for this catalyst was optimized for different parameters such as amount of catalyst, type and amount of solvent, type and amount of oxidant, temperature and time. It was found that the optimized conditions with over 97% yield, for epoxidation of 0.5 mmol cis-cyclooctene with this heterogeneous nano-catalyst were 25 mg catalyst, 0.5 ml carbon tetrachloride as solvent and 1.4 mmol t-butyl-hydroperoxide as oxidant, at  $80^\circ\text{C}$ . The maximum yields were obtained after 210 min. In addition, recycling experiments revealed that this nano-catalyst could be repeatedly applied for nearly complete epoxidation of alkenes for at least three successive cycles.

keywords: heterogeneous catalyst, nano-boehmite, Sol-Gel. epoxidation, cyclooctene, molybdenum complex



Shahrood University of Technology

Faculty of Chemistry

Preparation and Characterization of  $\text{MoO}_2(\text{acac})_2$  Supported on nano-boehmite and  
Investigation of its Catalytic application

R. Gholami

Supervisors

Dr. B. Bahramian

Dr. M. Mirzaee

february 2014